

**STUDI HUBUNGAN KUANTITATIF STRUKTUR-AKTIVITAS
DAN *DOCKING* MOLEKUL SENYAWA TURUNAN
BENZAMIDA SEBAGAI AGONIS RESEPTOR ²
PADA PENGOBATAN KANKER PAYUDARA**



SKRIPSI

Diajukan untuk Memenuhi Salah Satu Syarat Meraih Gelar
Sarjana Farmasi Jurusan Farmasi
pada Fakultas Ilmu Kesehatan
UIN Alauddin Makassar

Oleh:

HERIANA
NIM. 70100110049

**FAKULTAS ILMU KESEHATAN
UIN ALAUDDIN MAKASSAR
2014**

**STUDI HUBUNGAN KUANTITATIF STRUKTUR-AKTIVITAS
DAN *DOCKING* MOLEKUL SENYAWA TURUNAN
BENZAMIDA SEBAGAI AGONIS RESEPTOR ²
PADA PENGOBATAN KANKER PAYUDARA**



SKRIPSI

Diajukan untuk Memenuhi Salah Satu Syarat Meraih Gelar
Sarjana Farmasi Jurusan Farmasi
pada Fakultas Ilmu Kesehatan
UIN Alauddin Makassar

Oleh:

HERIANA
NIM. 70100110049

**FAKULTAS ILMU KESEHATAN
UIN ALAUDDIN MAKASSAR
2014**

PERNYATAAN KEASLIAN SKRIPSI

Mahasiswa yang bertanda tangan di bawah ini:

Nama : Heriana
NIM : 70100110049
Tempat/Tanggal Lahir: Ujung Pandang/6 Februari 1992
Jurusan : Farmasi
Fakultas : Ilmu Kesehatan
Alamat : Jl. Sanani No.30 Makassar
Judul : Studi Hubungan Kuantitatif Struktur-Aktivitas dan
Docking Molekul Senyawa Turunan Benzamida
Sebagai Agonis Reseptor α_2 Pada Pengobatan Kanker
Payudara

Menyatakan dengan sesungguhnya dan penuh kesadaran bahwa skripsi ini benar adalah hasil karya sendiri. Jika di kemudian hari terbukti bahwa ia merupakan duplikat, tiruan, plagiat, atau dibuat oleh orang lain, sebagian atau seluruhnya, maka skripsi dan gelar yang diperoleh karenanya batal demi hukum.

Makassar, 10 Juni 2014

Penyusun,

Heriana
NIM: 70100110049

PENGESAHAN SKRIPSI

Skripsi yang berjudul “Studi Hubungan Kuantitatif Struktur-Aktivitas dan *Docking* Molekul Senyawa Turunan Benzamida sebagai Agonis Reseptor α_2 pada Pengobatan Kanker Payudara” yang disusun oleh Heriana, NIM: 70100110049, Mahasiswa Jurusan Farmasi Fakultas Ilmu Kesehatan UIN Alauddin Makassar, diuji dan dipertahankan dalam Ujian Munaqasyah yang diselenggarakan pada hari Kamis tanggal 26 Juni 2014 M yang bertepatan dengan tanggal 28 Sya’ban 1435 H, dinyatakan telah dapat diterima sebagai salah satu syarat untuk memperoleh gelar Sarjana dalam Fakultas Ilmu Kesehatan, Jurusan Farmasi.

Gowa, 26 Juni 2014 M

28 Sya’ban **1435 H**

DEWAN PENGUJI

Ketua	: Fatmawaty Mallapiang, S.KM., M.Kes.	(.....)
Sekretaris	: Mukhriani, S.Si., M.Si., Apt.	(.....)
Pembimbing I	: Nursalam Hamzah, S.Si., M.Si., Apt.	(.....)
Pembimbing II	: Nurmaya Effendi, S.Si., M.Sc., Apt.	(.....)
Penguji I	: Haeria, S.Si., M.Si.	(.....)
Penguji II	: Dr. Abdullah, S.Ag., M.Ag.	(.....)

Diketahui oleh:
Plt. Dekan Fakultas Ilmu Kesehatan
UIN Alauddin Makassar,

Prof. Dr. H. Ahmad M. Sewang, M.A.
NIP. 19520811 198203 1 001

KATA PENGANTAR

Puji dan syukur yang sebesar-besarnya penulis panjatkan kepada Allah swt. atas limpahan rahmat, rezeki dan karunia-Nya, sehingga skripsi yang berjudul "Studi Hubungan Kuantitatif Struktur-Aktivitas dan *Docking* Molekuler Senyawa Turunan Benzamida sebagai Agonis Reseptor α_2 pada Pengobatan Kanker Payudara" ini dapat diselesaikan dengan baik. Skripsi ini disusun sebagai salah satu syarat untuk meraih gelar Sarjana dari Program Studi Farmasi pada Fakultas Ilmu Kesehatan UIN Alauddin Makassar.

Dalam kesempatan ini, penulis juga ingin menyampaikan terima kasih yang sebesar-besarnya kepada pihak-pihak yang telah membantu penelitian ini hingga skripsi ini selesai dibuat, terutama kepada:

- Ayahanda H. Moh. Ali HR dan Ibunda Hj. Juleha HZ, saudara-saudari Hariany, S.E., Moh. Ashady, S.T., dan Rezkyanti, serta semua anggota keluarga yang senantiasa memberi dukungan dengan setulus hati.
- Bapak Prof. Dr. H. A. Qadir Gassing HT., M.S. selaku Rektor UIN Alauddin Makassar dan bapak Prof. Dr. H. Ahmad M. Sewang, M.A. selaku Dekan Fakultas Ilmu Kesehatan.
- Ibu Fatmawaty Mallapiang, S.KM., M.Kes selaku Wakil Dekan I, ibu Dra. Hj. Faridha Yenny Nonci, M.Si., Apt. selaku Wakil Dekan II, dan bapak Drs. Wahyuddin G, M.Ag. selaku Wakil Dekan III Fakultas Ilmu Kesehatan.
- Bapak Nursalam Hamzah, S.Si., M.Si., Apt. selaku pembimbing I dan Ibu Nurmaya Effendi, S.Si., M.Sc., Apt. selaku pembimbing II yang telah memberikan bimbingan dan pengarahan untuk menyelesaikan skripsi ini.
- Ibu Haeria, S.Si., M.Si selaku penguji I dan bapak Dr. Abdullah, S.Ag., M.Ag. selaku penguji II yang telah memberikan saran dan pengarahan untuk menyelesaikan skripsi ini.
- Teman-teman seperjuangan di Farmasi angkatan 2010 "Corrigensia", kelas B, Naswina Putrianti, Fitriya Sakinah, Kamsia Dg. Paewa, Fathiyah Nuhrang, Fatmawati, Firdayawati, Hasriadi, Hasriani, Husnul Khatimah S, Ika Lismayani, Ika Misqawati, Irna Umar, Israyani, Isrul Zulfajrin, Juliandri, Jumatia, Jurandi Efendi, Khairunnisa, Muh. Agus Safar, Muh. Hidayat, Muh. Ali Khumaini, Muhammad Basir, Mukhlis Rauf, Mumang, Mustakim Masnur, Nasrawati Basir, dan Mir'atun Syarifah.
- Kakak-kakak dan adik-adik di Farmasi UIN Alauddin Makassar yang juga selalu memberi dukungan, serta pihak-pihak yang tidak sempat dituliskan.

Penulis menyadari sepenuhnya bahwa skripsi ini masih jauh dari sempurna. Oleh karena itu, masukan berupa

saran dan kritik yang membangun sangat diharapkan demi menyempurnakan kekurangan yang ada. Semoga tulisan ini bermanfaat dengan segala keterbatasannya.

Makassar, Juni 2014

Penulis

DAFTAR ISI

JUDUL		i
PERNYATAAN KEASLIAN SKRIPSI		ii
PENGESAHAN		iii
KATA PENGANTAR		iv
DAFTAR ISI		vi
DAFTAR LAMPIRAN		ix
DAFTAR TABEL		x
DAFTAR GAMBAR		xi
ABSTRAK		xii
BAB I	PENDAHULUAN	1-15
	• Latar Belakang Masalah	1
	• Rumusan Masalah	9
	• Definisi Operasional dan Ruang Lingkup Penelitian	9
	• Definisi Operasional	9
	• Ruang Lingkup Penelitian	10
	• Kajian Pustaka	10
	• Tujuan dan Kegunaan Penelitian	15
	• Tujuan Penelitian	15
	• Kegunaan Penelitian	15
BAB II	TINJAUAN TEORITIS	16-49
	• Tinjauan Islam	16
	• Kanker	26
	• Siklus Pembelahan Sel	27
	• Metastasis	28

	• Pembentukan Sel Kanker (Tumorigenesis)	29
	• Kanker Payudara	30
	• Diagnosis Kanker Payudara	32
	• Apoptosis dan Proliferasi Sel	33
	• Reseptor α_2	35
	• Hubungan Kuantitatif Struktur-Aktivitas	40
	• Analisis Hansch	45
	• Analisis Free-Wilson	46
	• Analisis HKSA Tiga Dimensi (3D)	47
	• <i>Docking</i> Molekul	47
BAB III	METODOLOGI PENELITIAN	50-62
	• Jenis dan Lokasi Penelitian	50
	• Jenis Penelitian	50
	• Lokasi Penelitian	50
	• Pendekatan Penelitian	50
	• Alat dan Bahan	50
	• Perangkat Keras	50
	• Perangkat Lunak	50
	• Prosedur Kerja	51
	• Hubungan Kuantitatif Struktur-Aktivitas	51
	• <i>Docking</i> Molekul	60
BAB IV	HASIL PENELITIAN DAN PEMBAHASAN	63-77
	• Hasil Penelitian	63

	• Hubungan Kuantitatif Struktur-Aktivitas	63	
	• <i>Docking</i> Molekul	64	
	• Pembahasan	71	
BAB V	PENUTUP	79-80	
	• Kesimpulan		79
	• Implikasi Penelitian	80	
	KEPUSTAKAAN	81	
	LAMPIRAN-LAMPIRAN	84	
	DAFTAR RIWAYAT HIDUP	103	

DAFTAR LAMPIRAN

Lampiran 1	Skema Kerja	86
Lampiran 2	Nilai deskriptor senyawa turunan benzamida	87
Lampiran 3	Nilai aktivitas senyawa turunan benzamida	89
Lampiran 4	Hasil perhitungan nilai Z menggunakan program MOE	90
Lampiran 5	Nilai perbandingan afinitas eksperimen dan afinitas prediksi	91
Lampiran 6	Kurva hubungan afinitas eksperimen dan afinitas prediksi model persamaan terbaik	91
Lampiran 7	Interaksi senyawa turunan benzamida pada protein 1A28	92
Lampiran 8	Posisi senyawa turunan benzamida pada protein 1A28	95
Lampiran 9	Interaksi senyawa turunan benzamida pada protein 2W8Y	98
Lampiran 10	Posisi senyawa turunan benzamida pada protein 2W8Y	101

DAFTAR TABEL

Tabel II.1	Daftar deskriptor	41
Tabel III.1	Struktur senyawa turunan benzamida dan data afinitas	52
Tabel III.2	Daftar deskriptor	59
Tabel IV.1	Kombinasi deskriptor dengan nilai kriteria statistik dan validasi <i>leave one out</i> (q^2)	63
Tabel IV.2	Hasil <i>docking</i> senyawa turunan benzamida dengan protein 1A28	64
Tabel IV.3	Hasil <i>docking</i> senyawa turunan benzamida dengan protein 2W8Y	66

PENDAHULUAN

- *Latar Belakang Masalah*

Allah swt. berfirman dalam QS. Yunus (10): ayat 57.

Terjemahnya:

Hai manusia, Sesungguhnya telah datang kepadamu pelajaran dari Tuhanmu dan penyembuh bagi penyakit-penyakit (yang berada) dalam dada dan petunjuk serta rahmat bagi orang-orang yang beriman (Departemen Agama RI, 2005: 315).

Ayat ini menegaskan bahwa al-Qur'an adalah obat bagi apa yang terdapat dalam dada. Penyebutan kata dada, yang diartikan dengan hati, menunjukkan bahwa wahyu-wahyu Ilahi itu berfungsi menyembuhkan penyakit-penyakit rohani, sementara ulama memahami bahwa ayat-ayat al-Qur'an juga dapat menyembuhkan penyakit-penyakit jasmani (Shihab, 2002, 5: 438–439).

Dalam kitab pengobatan (56) ayat 1 Shahih Bukhari ayat 5256 yang berkata bahwa:

حَدَّثَنَا مُحَمَّدُ بْنُ الْمُثَنَّى حَدَّثَنَا أَبُو أَحْمَدَ الزُّبَيْرِيُّ حَدَّثَنَا عُمَرُ بْنُ
سَعِيدِ بْنِ أَبِي حُسَيْنٍ قَالَ حَدَّثَنِي عَطَاءُ بْنُ أَبِي رَاحٍ عَنْ أَبِي
هُرَيْرَةَ رَضِيَ اللَّهُ عَنْهُ عَنِ النَّبِيِّ صَلَّى اللَّهُ عَلَيْهِ وَسَلَّمَ قَالَ مَا أَنْزَلَ
اللَّهُ دَاءً إِلَّا أَنْزَلَ لَهُ شِفَاءً

Artinya:

Telah menceritakan kepada kami *Muhammad bin Al Mutsanna* telah menceritakan kepada kami *Abu Ahmad Az Zubairi* telah menceritakan kepada kami *'Umar bin Sa'id bin Abu Husain* dia berkata: telah menceritakan kepadaku *'Atha' bin Abu Rabah* dari *Abu Hurairah* radiallahu 'anhu dari Nabi shallallahu 'alaihi wasallam beliau bersabda: "Allah tidak akan menurunkan penyakit melainkan menurunkan obatnya juga" (Muslimin, 2011).

Kanker adalah penyakit ketika pengendalian pertumbuhan hilang dalam satu atau lebih sel, mengarah ke massa padat (*solid mass*) sel yang dikenal sebagai tumor (Thurston, 2007: 1). Di Inggris, dalam tiga dekade 1900-an, kanker menyumbang kurang dari 10% dari semua kematian, sedangkan penyakit infeksi menjadi penyebab utama kematian. Akan tetapi, hingga saat ini belum ada kemajuan berarti dalam pengobatan kanker. Akibatnya, sekitar 300.000 kasus baru kanker terjadi setiap tahun di Inggris. Jumlah kematian tiap tahun akibat kanker dari seluruh jenisnya adalah sekitar 160.000, yang mewakili sekitar 25% dari seluruh kematian di Inggris. Angka statistik menunjukkan bahwa sekitar satu dari tiga penduduk akan menderita beberapa bentuk kanker selama hidup mereka, dan satu dari empat akan meninggal akibat penyakit tersebut. Selain itu, 1 dari 10.000 anak-anak didiagnosis setiap tahun di Inggris menderita kanker, dengan jumlah 1.300 kasus baru setiap tahun (Thurston, 2007: 1). Di Amerika Serikat dan beberapa negara lainnya, kanker juga menjadi masalah kesehatan masyarakat yang utama. Satu dari empat kematian di Amerika Serikat disebabkan oleh kanker (Siegel *et al*, 2013: 11).

Kanker payudara mendapat banyak perhatian untuk berbagai alasan. Pertama, jumlah wanita dengan kanker payudara meningkat. Telah dilaporkan bahwa setiap tahun lebih dari 1,1 juta wanita di seluruh dunia didiagnosa

mengidap kanker payudara dan 410.000 di antaranya meninggal. Kedua, deteksi dini dan pengobatan kanker payudara terus ditingkatkan. Ketiga, kanker payudara mempengaruhi identitas wanita, karena berhubungan dengan organ vitalnya (Montazeri, 2008: 2).

Fakultas Kedokteran Universitas Indonesia (1998) melaporkan bahwa kanker payudara menduduki posisi kedua dari sepuluh kasus kanker yang terjadi di Indonesia dengan persentase berturut-turut dari tahun 1988 hingga 1991 yaitu 11,59%; 12,60%; 11,52%; 12,10% (Tjindarbuni dan Mangunkusumo, 2002: 18). Di dunia, kanker payudara menunjukkan angka 10% dari semua kanker yang terdiagnosa setiap tahun dan 22% dari semua kanker yang terjadi pada wanita pada tahun 2000. Di Bahrain, Mesir, Yordania, Kuwait, Lebanon, Oman, Arab Saudi dan Tunisia, kanker payudara lebih banyak didiagnosis pada wanita di bawah usia 50 tahun, tidak seperti di Amerika Serikat, wanita dengan usia 50 tahun ke atas yang sering terkena (WHO, 2006: 11–12).

American Cancer Society pada tahun 2013 melaporkan perkiraan kasus kanker payudara pada wanita yang menyebabkan kematian dengan berbagai rentang usia, berturut-turut untuk usia di bawah 40 tahun; di bawah 50 tahun; usia 50–64 tahun; dan di atas 65 tahun yaitu 1.020; 4.780; 11.970; dan 22.870 kasus. Perkiraan kasus ini berdasarkan data dari 49 negara pada tahun 1995 hingga 2009 yang dilaporkan oleh North American Association for Central Cancer Registries, serta perkiraan kasus yang menyebabkan kematian berdasarkan data dari US Mortality Data, National Center for Health Statistics, dan Centers for Disease Control and Prevention pada tahun 1995 hingga 2009 (American Cancer Society, 2013: 1). Rebecca *et al* dalam Cancer Statistic 2013 melaporkan perkiraan jumlah kasus baru kanker payudara di Amerika Serikat pada tahun 2013 menyerang pria sebanyak 2.240 kasus dan pada wanita 232.340 kasus, sedangkan kasus kanker payudara yang menyebabkan kematian pada pria sebanyak 410 dan wanita 39.620 kasus (Siegel *et al*, 2013: 12–14).

Semua wanita dengan kanker payudara dini harus dipertimbangkan untuk mendapat terapi pembantu diikuti operasi pengangkatan tumor. Pilihan pengobatan tambahan ditentukan oleh faktor resiko kekambuhan, status reseptor estrogen tumor primer, dan status menopause. Pengobatan pasien dengan kanker payudara melibatkan operasi, radioterapi, terapi obat, atau kombinasi dari pengobatan ini (Thurston, 2007: 127).

Reseptor α_2 merupakan target penting bagi pengembangan molekul dalam onkologi karena kemampuannya yang sepuluh kali lipat dalam perkembangbiakan sel tumor yang dibandingkan dengan sel tumor jinak dan juga karena pengamatan bahwa agonis reseptor α_2 mampu membunuh sel-sel tumor melalui mekanisme apoptosis dan non-apoptosis

(Mach *et al*, 2013: 7137). Robert melaporkan bahwa senyawa turunan benzamida memiliki selektivitas paling tinggi pada reseptor α_2 dibanding reseptor α_1 . Ligan ini juga memiliki afinitas ikatan yang rendah pada sebagian besar reseptor sistem saraf pusat, yang semakin meningkatkan selektivitasnya ke reseptor α_2 dibanding sistem reseptor lainnya (Mach *et al*, 2013: 7145–7146).

Hubungan kuantitatif struktur-aktivitas (HKSA) adalah metode komputasi atau model matematik untuk menemukan korelasi signifikan secara statistik antara struktur dan aktivitas. Dari segi desain obat, struktur di sini merujuk pada sifat dari molekul, substituen atau interaksi medan energi, serta aktivitas yang sesuai dengan suatu eksperimen biologi/biokimia seperti afinitas ikatan, aktivitas, toksisitas atau tingkat konstanta. Berbagai pendekatan HKSA telah dikembangkan secara bertahap selama rentang waktu lebih dari seratus tahun dan berfungsi sebagai metode prediksi aktivitas yang penting, khususnya dalam desain obat-obatan (Verma *et al*, 2010: 95).

Pada tahun 1868 Crum-Brown dan Fraser mempublikasikan sebuah persamaan yang dianggap menjadi rumusan umum pertama dari hubungan kuantitatif struktur-aktivitas. Berdasarkan pada pengamatan aktivitas dari beberapa alkaloid yang berbeda, didapatkan bahwa alkilasi dari atom nitrogen menghasilkan efek biologis yang berbeda secara signifikan sebagai hasil permanen dari senyawa amonium kuarterner yang dibandingkan dengan amina. Oleh karena itu, dianggap bahwa “aktivitas fisiologis” (A) harus berupa fungsi dari struktur kimia (C) sehingga $A = f(C)$. Richet menemukan bahwa toksisitas senyawa organik berbanding terbalik dengan kelarutannya dalam air. Hubungan tersebut sesuai dengan persamaan $A = f(C)$, di mana A adalah perbedaan nilai aktivitas biologis, yang disebabkan oleh perubahan kimia yang sesuai dan khususnya sifat fisika kimia, C . Sebenarnya, sampai sekarang tidak ada cara untuk mengaplikasikan persamaan $A = f(C)$ pada data biologis. Semua persamaan HKSA sesuai dengan persamaan $A = f(C)$, karena hanya perbedaan aktivitas biologis yang secara kuantitatif berhubungan dengan perubahan lipofilisitas dan/atau sifat fisika kimia lainnya dari senyawa yang diselidiki (Kubinyi, 1993: 4).

Meyer dan Overton telah mengamati hubungan linear antara lipofilisitas, yang dinyatakan sebagai koefisien partisi minyak-air, dan aktivitas narkotika. Fuhner menyadari bahwa dalam seri homolog aktivitas narkotika meningkat sesuai dengan perkembangan geometrinya, yang memberikan bukti bahwa penambahan gugus berkontribusi terhadap nilai aktivitas biologis. Hasil ini dikonfirmasi oleh banyak peneliti lain yang menggunakan parameter lipofilisitas yang berbeda untuk menggambarkan berbagai jenis aktivitas biologis nonspesifik. Ferguson memberikan sebuah penafsiran termodinamika seperti hubungan struktur-aktivitas nonspesifik yang juga menjelaskan nilai-nilai aktivitas biologis di

luar kisaran lipofilisitas tertentu (Kubinyi, 1993: 4).

Metode HKSA cepat dikembangkan sejak pertengahan tahun 50-an, Bruice, Kharasch dan Winzler memformulasi gugus yang berkontribusi pada nilai aktivitas biologis dari seri analog hormon tiroid, yang dapat dianggap sebagai analisis tipe Free-Wilson pertama. Zahradnik mencoba untuk mengaplikasikan konsep persamaan Hammett, yang pada saat itu digunakan selama tiga dekade untuk menggambarkan reaktivitas dari senyawa organik secara kuantitatif, juga pada data biologis. Pada tahun 1962 Hansen (satu-satunya dalam waktu yang lama) menurunkan hubungan persamaan Hammett antara toksisitas asam benzoat tersubstitusi dan konstanta elektronik dari substituenya. Pada tahun yang sama publikasi HKSA pertama oleh Corwin Hansch dengan "*The correlation of the biological activity of the phenoxyacetic acids with Hammett substituent constants and partition coefficients*" muncul (Kubinyi, 1993: 5).

Tahun 1964 dianggap sebagai tahun kelahiran metodologi HKSA modern, tentang bagaimana memperlakukan hubungan struktur-aktivitas secara kuantitatif. Secara terpisah, dua makalah dipublikasikan, oleh Hansch dan Fujita dengan "*- - Analysis. A method for the correlation of biological activity and chemical structure*", dan oleh Free dan Wilson dengan "*A mathematical contribution to structure activity studies*". Keduanya memulai pengembangan dua metode baru dari hubungan kuantitatif struktur-aktivitas, yang kemudian disebut analisis Hansch (pendekatan energi bebas linear, pendekatan ekstratermodinamik) dan analisis Free Wilson. Terobosan nyata dalam HKSA dihasilkan dari kombinasi parameter fisika kimia yang berbeda secara linear ($\log 1/C = a \log P + b + \dots + \text{konstanta}$; $\log 1/C$ adalah logaritma yang berbanding terbalik dengan dosis molar yang menghasilkan atau menghambat respon biologis tertentu, $\log P$ adalah logaritma dari koefisien partisi n-oktanol/air P). Selanjutnya adalah perhitungan parameter lipofilisitas ($\log P_x = \log P_{R-x} - \log P_{R-H}$), yang akan digunakan sebagai nilai $\log P$ terukur (seperti nilai Hammett yang digunakan sebagai pengganti konstanta kesetimbangan reaksi organik), dan perumusan persamaan parabola untuk deskripsi kuantitatif dari hubungan nonlinear lipofilisitas-aktivitas ($\log 1/C = a (\log P)^2 + b \log P + c + \dots + \text{konstanta}$). Mempertimbangkan kontribusi yang signifikan oleh Fujita dan Ban, model Free Wilson didefinisikan dalam $\log 1/C = \sum a_{ij} X_j + \mu$, di mana a_{ij} adalah kontribusi gugus dari substituen X_i pada posisi j dan μ adalah nilai aktivitas biologis (teoritis) dari rangkaian senyawa (Kubinyi, 1993: 6).

Hubungan kuantitatif struktur-aktivitas tiga dimensi (HKSA 3D) yang dikembangkan untuk memetakan permukaan reseptor dengan menganalisis persamaan HKSA untuk interaksi nonkovalen dari ligan pada posisi substituen

yang berbeda. Holtje memperluas pendekatan ini, bahwa rantai samping asam amino tertentu sebagai pasangan ikatan, menghitung energi interaksi dalam geometri standar, dan menghubungkan energi ini dengan nilai aktivitas biologi (Kubinyi, 1993: 6).

Hubungan kuantitatif struktur kimia dan aktivitas biologis obat (HKSA) merupakan bagian penting rancangan obat, dalam usaha mendapatkan suatu obat baru dengan aktivitas yang lebih besar, selektivitas yang lebih tinggi, toksisitas atau efek samping sekecil mungkin dan kenyamanan yang lebih besar. Selain itu, dengan menggunakan model HKSA, akan lebih banyak menghemat biaya atau lebih ekonomis, karena untuk mendapatkan obat baru dengan aktivitas yang dikehendaki, faktor coba-coba ditekan sekecil mungkin. Oleh karena itu, dilakukanlah studi Hubungan Kuantitatif Struktur-Aktivitas terhadap senyawa turunan benzamida yang berfungsi sebagai ligan agonis pada reseptor α_2 untuk pengobatan kanker payudara.

- ***Rumusan Masalah***

- Sifat fisika-kimia yang manakah dari senyawa turunan benzamida yang berperan terhadap aktivitas agonis pada reseptor α_2 untuk pengobatan kanker payudara dan asam amino apa saja yang penting dalam interaksi dengan protein reseptor?
- Bagaimanakah interaksi senyawa turunan benzamida terhadap reseptor α_2 ?
- Bagaimana pandangan Islam terhadap penentuan aktivitas senyawa berdasarkan sifat fisika-kimia dari senyawa turunan benzamida pada pengobatan kanker payudara?

- ***Definisi Operasional dan Ruang Lingkup Penelitian***

- **Definisi Operasional**

Hubungan kuantitatif struktur-aktivitas (HKSA) adalah metode yang pada umumnya digunakan untuk menghubungkan struktur molekul dengan aktivitas biologis *in vivo* atau *in vitro*. Tujuan utama dari analisis HKSA ini adalah untuk menganalisis dan mendeteksi faktor penentu untuk aktivitas terukur pada sistem tertentu. Untuk tujuan ini, beberapa tahap dilakukan untuk mendapatkan persamaan matematika yang menghubungkan aktivitas biologis dengan menggunakan deskriptor struktur molekul dari beberapa senyawa turunan yang digunakan (Winkler, 2002: 74).

Parameter fisika kimia yang digunakan antara lain parameter lipofilisitas, yaitu koefisien partisi; parameter

polaritas, yaitu volume molar; parameter elektronik, yaitu parameter yang dihasilkan dari data spektroskopik, momen dipol, dan parameter kimia kuantum; parameter sterik, yaitu hubungan energi bebas linear, atau pertimbangan geometri; parameter lain seperti bobot molekul, parameter geometri, konformasi entropi, indeks konektivitas, dan parameter topologikal lainnya (Kubinyi, 1993: 21).

Reseptor α_2 , bagian dari reseptor yang termasuk reseptor opiat, merupakan reseptor yang berhubungan dengan tumor dan jaringan proliferasi. Reseptor ini diidentifikasi menggunakan sel tumor PC12 dan memiliki bobot molekul sekitar 21,5 kDa. Reseptor α_2 terletak di retikulum endoplasma, mitokondria, membran plasma, membran sitoplasma, serta lisosom (Mach *et al*, 2013: 7137, 7148–7150).

- **Ruang Lingkup Penelitian**

Ruang lingkup penelitian ini adalah untuk menentukan sifat fisika-kimia dari senyawa turunan benzamida yang berperan penting terhadap aktivitas agonis reseptor α_2 berdasarkan persamaan HKSA, serta mempelajari interaksi senyawa benzamida terhadap reseptor α_2 .

- **Kajian Pustaka**

Robert, Chenbo dan William pada tahun 2013 dalam *The α_2 Receptor: A Novel Protein for the Imaging and Treatment of Cancer* telah membahas tentang senyawa-senyawa yang dapat digunakan dalam pengobatan kanker pada reseptor α_2 , karena kepadatan (*density*) reseptor ini terdapat sepuluh kali lebih tinggi pada sel tumor yang berproliferasi dibandingkan sel tumor yang diam, sehingga penggunaan senyawa agonis pada reseptor ini dapat digunakan untuk pengobatan kanker dengan mekanisme apoptosis maupun nonapoptosis pada sel tumor. Terdapat beberapa analog senyawa yang dapat berinteraksi dengan reseptor α_2 dengan berbagai nilai afinitas. Senyawa turunan benzamida merupakan senyawa dengan nilai afinitas dan tingkat selektivitas yang tinggi terhadap reseptor α_2 dibanding dengan senyawa turunan lain pada berbagai reseptor. Hal ini dibuktikan pada studi *cellular uptake* yang menunjukkan bahwa akumulasi senyawa turunan benzamida (senyawa 37) lima kali lebih tinggi dalam fraksi nukleus dibanding fraksi sitosol dari sel neuroblastoma pada manusia, dan sel tumor payudara, menandakan bahwa senyawa ini dapat memasuki inti sel. Senyawa turunan benzamida (senyawa 27) juga dilaporkan memiliki selektivitas yang paling tinggi pada reseptor α_2 dibanding pada reseptor α_1 , hal ini didasarkan pada studi Scatchard reseptor α_2 pada jaringan tumor dan jaringan normal. Selain itu, ligan ini juga memiliki afinitas yang rendah terhadap reseptor sistem saraf pusat yang lain

secara luas.

Abate *et al* pada tahun 2011 dalam artikel *Arylamides hybrids of two high-affinity α_2 receptor ligands as tools for the development of PET radiotracers* membahas nilai afinitas dan selektivitas yang tinggi dari senyawa turunan benzamida pada reseptor α_2 . 2-metoksi-5-metil-N-[4-(3,4-dihidro-6,7-dimetoksi isoquinolin)butil]benzamida (RHM-1) merupakan senyawa yang digunakan dalam diagnosis tumor, dengan memberikan afinitas yang tinggi pada reseptor α_2 . Dengan tujuan memperoleh senyawa yang baik pada pengembangan menggunakan metode PET *tracers*, maka struktur turunan senyawa 1 dan 2 didesain. Selektivitas α_1/α_2 yang paling baik dicapai ketika senyawa 6,7-dimetoksitetrahidro isokuinolin terhubung dengan arilamida tersubstitusi o-metoksi dan untuk senyawa benzamida dengan konformasi ikatan hidrogen intramolekul yang aktif pada sisi reseptor. Namun, ligan reseptor α_2 yang terbaik dapat berinteraksi dengan P-gp, hal ini dapat membatasi penggunaannya sebagai agen PET pada reseptor α_2 ketika tumor berekspresi berlebihan pada P-gp. Senyawa 15a yang berinteraksi dengan P-gp menunjukkan hal yang menarik dalam pengembangan dari reseptor α_2 menggunakan metode PET pada tumor yang berekspresi berlebihan terhadap P-gp.

Rong, John, dan Susan dalam *Synthesis and in vitro evaluation of tetrahydroisoquinolinyl benzamides as ligands for the α_2 receptors* pada tahun 2007 menyimpulkan bahwa modifikasi dari dua gugus metoksi pada tetrahidroisokuinolin benzamida bisa digunakan untuk memodulasi afinitas dan selektivitas dari ligan pada sub tipe reseptor α_1 dan α_2 yang menghasilkan satu senyawa yang paling selektif terhadap reseptor α_2 . 5-bromo-N-[4-(6,7-dimetoksi-3,4-dihidro-isokuinolin)-butil]-2,3-dimetoksi-benzamida adalah salah satu senyawa yang paling berpotensi dan dilaporkan sebagai ligan selektif pada reseptor α_2 . Studi hubungan struktur-aktivitas yang sebelumnya seperti pada senyawa tetrahidroisokuinolinil benzamida telah difokuskan pada *link* yang menghubungkannya dengan sistem cincin dan efek substituen cincin benzamida. Studi ini lebih menyelidiki penggunaan gugus metilen, etilen, dan propilendioksi dalam tetrahidroisokuinolin terhadap posisi 2 gugus metoksi. Modifikasi ini menurunkan afinitasnya terhadap α_2 8 hingga 12 kali, dengan tidak ada perubahan yang besar terhadap ukuran cincin. Sebaliknya, analog metilendioksi menunjukkan afinitas yang 10 kali lebih besar terhadap α_1 , dan semakin menurunkan afinitas α_1 dengan meningkatnya ukuran cincin. Studi terhadap efek cincin tetrahidroisokuinolin dengan adanya perubahan konformasi pada reseptor α_2 . Afinitas α_2 pada senyawa dengan cincin terbuka menurun 1700 kali, sementara afinitas α_1 tidak mengalami perubahan. Jadi, batasan sistem cincin tetrahidroisokuinolin merupakan kunci terhadap afinitas dan selektivitas pada reseptor α_2 .

Jinbin *et al* dalam *[³H]N-[4-(3,4-dihydro-6,7-dimethoxyisoquinolin-2(1H)-yl)butil]-2-methoxy-5-*

methylbenzamide: A novel σ -2 receptor probe pada tahun 2005 telah mengevaluasi secara in vitro afinitas tinggi yang dimiliki senyawa ini pada reseptor σ_2 yang dibandingkan dengan senyawa ditolilguanidin dan senyawa turunan benzamida lainnya dengan konformasi yang berbeda. N-[4-(3,4-dihidro-6,7-dimetoksiisoquinolin)butil]-2-metoksi-5-metilbenzamida (RHM-1) dan N-[2-(3,4-dihidro-6,7-dimetoksiisoquinolin)etil]-2-metoksi-5-metilbenzamida (RHM-2), dua konformasi analog benzamida telah diradiolabeled dengan tritium (aktivitas spesifik=80 Ci/mmol) dan ikatan dari [^3H]RHM-1 dan [^3H]RHM-2 pada reseptor σ -2 (σ_2) telah dievaluasi secara in vitro. [^3H]RHM-1 ditemukan memiliki afinitas yang lebih tinggi pada reseptor σ_2 dibanding dengan [^3H]RHM-2 dan [^3H]1,3-di-o-tolilguanidin. [^3H]RHM-1 memiliki konstanta disosiasi (K_d) $0,66 \pm 0,12$ nM pada membran hati tikus, yang lebih tinggi 30 kali lipat dari [^3H]RHM-2 ($K_d=19,48 \pm 0,51$ nM). Profil farmakologi dari [^3H]RHM-1 sesuai dengan [^3H]DTG. Hasil dari studi ini mengindikasikan bahwa [^3H]RHM-1 merupakan ligan yang bisa digunakan dalam studi reseptor σ_2 secara in vitro.

Kuo-Hsien, John, dan Susan dalam *Effect of structural modification in the amine portion of substituted aminobutyl-benzamides as ligands for binding σ_1 and σ_2 receptors* pada tahun 2011 melaporkan satu dari beberapa senyawa yang paling berpotensi dan selektif pada reseptor σ_2 karena adanya modifikasi tempat substitusi nitrogen dalam cincin. 5-bromo-N-[4-(6,7-dimetoksi-3,4-dihidro-isokuinolin)-butil]-2,3-dimetoksi-benzamida (1) adalah satu dari yang paling berpotensi dan ligan yang selektif pada reseptor σ_2 . Senyawa-senyawa ini, di mana pada cincin amin ditambahkan pada cincin aromatik lalu divariasikan dan lokasi nitrogen dalam cincin yang dimodifikasi, telah disintesis dan diperkirakan afinitas ikatannya pada reseptor σ_1 dan σ_2 . Afinitas ikatan dengan variasi rantai terbuka pada senyawa (1) juga telah dievaluasi. Hanya diperoleh lima senyawa dengan selektivitas σ_1/σ_2 yang tinggi, dengan afinitas terhadap σ_2 lebih tinggi dan afinitas terhadap σ_1 yang lebih rendah. Posisi nitrogen yang berdekatan dengan cincin aromatik pada senyawa secara dramatis menurunkan afinitas terhadap dua sub tipe reseptor. Jadi, lokasi nitrogen dalam cincin dikonfirmasi sebagai kunci terhadap afinitas ikatan dan selektivitas terhadap reseptor.

Penelitian ini akan memberikan gambaran sifat fisika-kimia dari senyawa turunan benzamida berdasarkan persamaan Hubungan Kuantitatif Struktur-Aktivitas (HKSA) yang disajikan dalam bentuk model persamaan matematis untuk menentukan aktivitas terbaik pada reseptor σ_2 sebagai situs pengobatan baru pada kanker payudara. Selain itu juga untuk menentukan bagaimana interaksi senyawa turunan benzamida terhadap reseptor σ_2 .

- ***Tujuan dan Kegunaan Penelitian***

- **Tujuan Penelitian**

- Menentukan sifat fisika-kimia yang berperan penting pada aktivitas senyawa turunan benzamida pada reseptor α_2 .
- Mempelajari interaksi senyawa turunan benzamida dengan reseptor α_2 .
- Mengetahui pandangan Islam terhadap penentuan aktivitas senyawa berdasarkan sifat fisika-kimia dari senyawa turunan benzamida pada pengobatan kanker payudara.

- **Kegunaan Penelitian**

- Kegunaan Teoritis
 - Memberikan persamaan HKSA terbaik dari senyawa turunan benzamida pada reseptor α_2 untuk pengobatan kanker payudara.
 - Menambah wawasan tentang pengobatan kanker payudara.
- Kegunaan Praktis

Memberikan tambahan informasi dan sebagai bahan penyuluhan tentang bahaya kanker payudara kepada masyarakat.

TINJAUAN TEORITIS

- *Tinjaun Islam*

Islam adalah *Diin* yang *Syaamil* (Integral), *Kaamil* (Sempurna), dan *Mutakaamil* (Menyempurnakan semua sistem yang lain), karena merupakan sistem hidup yang diturunkan oleh Yang Maha Mengetahui dan Maha Bijaksana, hal ini didasarkan pada firman Allah SWT dalam QS. Al-Maidah (5): ayat 3.

Terjemahnya:

16

Diharamkan bagimu (memakan) bangkai, darah, daging babi, (daging hewan) yang disembelih atas nama selain Allah, yang tercekik, yang terpukul, yang jatuh, yang ditanduk, dan diterkam binatang buas, kecuali yang sempat kamu menyembelinya, dan (diharamkan bagimu) yang disembelih untuk berhala. dan (diharamkan juga) mengundi nasib dengan anak panah, (mengundi nasib dengan anak panah itu) adalah kefasikan. pada hari ini orang-orang kafir telah putus asa untuk (mengalahkan) agamamu, sebab itu janganlah kamu takut kepada mereka dan takutlah kepada-Ku. pada hari ini telah Kusempurnakan untuk kamu agamamu, dan telah Ku-cukupkan kepadamu nikmat-Ku, dan telah Ku-ridhai Islam itu Jadi agama bagimu. Maka barang siapa terpaksa karena kelaparan tanpa sengaja berbuat dosa, Sesungguhnya Allah Maha Pengampun lagi Maha Penyayang.

Penjelasan ayat tersebut, yaitu (diharamkan bagimu bangkai) yakni memakannya (darah) yang mengalir seperti pada binatang ternak (daging babi, hewan yang disembelih karena selain Allah) misalnya disembelih atas nama lain-Nya (yang tercekik) yang mati karena tercekik (yang dipukul) yang dibunuh dengan jalan memukulnya (yang jatuh) dari atas ke bawah lalu mati (yang ditanduk) yang mati karena tandukan lainnya (yang diterkam oleh binatang buas kecuali yang sempat kamu sembelih) maksudnya yang kamu dapati masih bernyawa dari macam-macam yang disebutkan itu lalu kamu sembelih (dan yang disembelih atas) nama (berhala) jamak dari nishab; artinya patung (dan mengundi nasib) artinya menentukan bagian dan keputusan (dengan anak panah) azlaam jamak dari zalam atau zulam; artinya anak panah yang belum diberi bulu dan ujungnya tidak bermata. Anak panah itu ada tujuh buah disimpan oleh pengurus Kakbah dan padanya terdapat tanda-tanda. Maka tanda-tanda itulah yang mereka ambil sebagai pedoman, jika disuruh mereka lakukan dan jika dilarang mereka hentikan. (Demikian itu adalah kefasikan) artinya menyimpang dari ketaatan. Ayat ini turun pada hari Arafah masa haji wadak, yaitu haji terakhir yang dilakukan oleh Nabi Muhammad saw. (Pada hari ini orang-orang kafir telah putus-asa terhadap agamamu) untuk mengembalikan kamu menjadi murtad setelah mereka melihat kamu telah kuat (maka janganlah kamu takut kepada mereka dan takutlah pada-Ku. Pada hari ini telah Kusempurnakan untukmu agamamu) yakni hukum-hukum halal maupun haram yang tidak diturunkan lagi setelahnya

hukum-hukum dan kewajiban-kewajibannya (dan telah Kucukupkan padamu nikmat karunia-Ku) yakni dengan menyempurnakannya dan ada pula yang mengatakan dengan memasuki kota Mekah dalam keadaan aman (dan telah Kuridai) artinya telah Kupilih (Islam itu sebagai agama kalian. Maka siapa terpaksa karena kelaparan) untuk memakan sesuatu yang haram lalu dimakannya (tanpa cenderung) atau sengaja (berbuat dosa) atau maksiat (maka sesungguhnya Allah Maha Pengampun) terhadapnya atas perbuatan memakannya itu (lagi Maha Pengasih) kepadanya dalam memperbolehkannya. Berbeda halnya dengan orang yang cenderung atau sengaja berbuat dosa, misalnya penyamun atau pemberontak, maka tidak halal baginya memakan itu (Hidayat, 2010).

Ayat ini menggunakan kata Ku-sempurnakan (*akmaltu*) untuk agama dan Ku-cukupkan (*atmamtu*) untuk nikmat-nikmat. Penulis kemukakan pemilihan *akmaltu* untuk agama memberi isyarat bahwa petunjuk-petunjuk agama yang beraneka ragam itu kesemuanya, dan masing-masingnya, telah sempurna. Adapun nikmat, ia dicukupkan, misalnya kesehatan, kekayaan, keturunan, kedudukan, dan lain-lain (Shihab, 2002, 3: 27–28). Ayat ini menjelaskan bahwa Islam mencakup semua sisi yang dibutuhkan oleh manusia dalam kehidupannya, demikian tinggi, indah dan terperinci aturan Sang Maha Rahman dan Rahim ini, sehingga bukan hanya mencakup aturan bagi sesama manusia saja, melainkan juga terhadap alam, lingkungan hidup dan ilmu pengetahuan.

Kanker merupakan kelompok penyakit yang menyebabkan sel-sel dalam tubuh berubah, ditandai dengan kelainan siklus sel, yaitu pembelahan yang tidak terkendali. Pada tahun 2013 dilaporkan perkiraan jumlah kasus baru kanker payudara di Amerika Serikat yang menyerang pria sebanyak 2.240 kasus dan pada wanita 232.340 kasus, sedangkan kasus kanker payudara yang menyebabkan kematian pada pria sebanyak 410 dan wanita 39.620 kasus. Kanker payudara berada di peringkat pertama sebagai perkiraan kasus baru terbanyak yang terjadi pada wanita, yaitu 29%, dan berada di peringkat kedua sebagai kasus kanker penyebab kematian pada wanita, yaitu 15%.

Penyebab terjadinya kanker payudara sampai saat ini belum diketahui secara pasti, namun ada beberapa faktor yang diduga sebagai penyebab terjadinya kanker payudara, seperti minum alkohol dan merokok, hal ini mempengaruhi kondisi darah manusia sehingga tubuh akan rentan terkena berbagai penyakit. Obesitas atau kegemukan (kelebihan lemak) dapat memicu terjadinya sel kanker terutama pasca menopause. Tidak menyusui anak juga meningkatkan resiko terkena kanker, karena ternyata dengan menyusui anak dapat menurunkan resiko terkena kanker payudara. Memakai pil KB dalam jangka panjang lebih beresiko terkena kanker payudara. Kurang mendapat asupan gizi dan kurang berolahraga termasuk juga faktor resiko kanker.

Salah satu faktor yang diduga dapat menyebabkan terjadinya kanker payudara adalah tidak menyusui. Padahal dalam Al Quran telah dijelaskan kewajiban seorang wanita (seorang ibu) menyusui pada anaknya sesuai firman Allah swt. dalam QS. Al-Baqarah (2): ayat 233.

Terjemahnya:

Para ibu hendaklah menyusukan anak-anaknya selama dua tahun penuh, Yaitu bagi yang ingin menyempurnakan penyusuan. dan kewajiban ayah memberi Makan dan pakaian kepada Para ibu dengan cara ma'ruf. seseorang tidak dibebani melainkan menurut kadar kesanggupannya. janganlah seorang ibu menderita kesengsaraan karena anaknya dan seorang ayah karena anaknya, dan warispun berkewajiban demikian. apabila keduanya ingin menyapih (sebelum dua tahun) dengan kerelaan keduanya dan permusyawaratan, Maka tidak ada dosa atas keduanya. dan jika kamu ingin anakmu disusukan oleh orang lain, Maka tidak ada dosa bagimu apabila kamu memberikan pembayaran menurut yang patut. bertakwalah kamu kepada Allah dan ketahuilah bahwa Allah Maha melihat apa yang kamu kerjakan.

Pada ayat tersebut dijelaskan tentang para ibu menyusukan, maksudnya hendaklah menyusukan (anak-anak mereka selama dua tahun penuh) sifat yang memperkuat, (yaitu bagi orang yang ingin menyempurnakan penyusuan) dan tidak perlu ditambah lagi. (Dan kewajiban yang diberi anak), maksudnya bapak (memberi mereka (para ibu) sandang pangan) sebagai imbalan menyusukan itu, yakni jika mereka diceraikan (secara makruf), artinya menurut kesanggupannya. (Setiap diri itu tidak dibebani kecuali menurut kadar kemampuannya, maksudnya kesanggupannya. (Tidak boleh seorang ibu itu menderita kesengsaraan disebabkan anaknya) misalnya dipaksa menyusukan padahal ia keberatan (dan tidak pula seorang ayah karena anaknya), misalnya diberi beban di atas kemampuannya. Mengidhafatkan anak kepada masing-masing ibu dan bapak pada kedua tempat tersebut ialah untuk mengimbau keprihatinan dan kesantunan, (dan ahli waris pun) ahli waris dari bapaknya, yaitu anak yang masih bayi dan di sini ditujukan kepada wali yang mengatur hartanya (berkewajiban seperti demikian), artinya seperti kewajiban bapaknya memberi ibunya sandang pangan. (Apabila keduanya ingin), maksudnya ibu bapaknya (menyapih) sebelum masa dua tahun dan timbul (dari kerelaan) atau persetujuan (keduanya dan hasil musyawarah) untuk mendapatkan kemaslahatan si bayi, (maka keduanya tidaklah berdosa) atas demikian itu. (Dan jika kamu ingin) ditujukan kepada pihak bapak (anakmu disusukan oleh orang lain) dan bukan oleh ibunya, (maka tidaklah kamu berdosa) dalam hal itu (jika kamu menyerahkan) kepada orang yang menyusukan (pembayaran upahnya) atau upah yang hendak kamu bayarkan (menurut yang patut) secara baik-baik dan dengan kerelaan hati. (Dan bertakwalah kamu kepada Allah dan ketahuilah bahwa Allah Maha Melihat apa yang kamu kerjakan) hingga tiada satu pun yang tersembunyi bagi-Nya (Hidayat, 2010).

Sebuah penelitian yang dilakukan oleh Departemen Kesehatan Inggris yang dilansir oleh BBC mengemukakan bahwa mengisap payudara dapat menurunkan resiko terkena kanker payudara. Jika dihubungkan dengan pengisapan

payudara saat ibu menyusui bayinya, hal tersebut mungkin benar. Menyusui merupakan proses alami namun efektif untuk menekan kadar estrogen. Berdasarkan penelitian, seorang perempuan yang menyusui bayi lebih dari satu tahun, resiko terserang penyakit kanker payudara berkurang sampai 59% dibanding yang tidak menyusui bayi, meskipun keluarganya memiliki sejarah menderita kanker payudara.

Kemudian seruan untuk mengambil pelajaran daripada firman Allah swt. sebagai penyembuh berbagai penyakit yang tertera pada QS. Yunus (10): ayat 57.

Terjemahnya:

Hai manusia, Sesungguhnya telah datang kepadamu pelajaran dari Tuhanmu dan penyembuh bagi penyakit-penyakit (yang berada) dalam dada dan petunjuk serta rahmat bagi orang-orang yang beriman.

Maksud dari ayat tersebut menjelaskan manusia, yakni penduduk Makkah (sesungguhnya telah datang kepada kalian pelajaran dari Rabb kalian) berupa Alkitab yang di dalamnya dijelaskan hal-hal yang bermanfaat dan hal-hal yang mudarat bagi diri kalian, yaitu berupa kitab Al-Qur'an (dan penyembuh) penawar (bagi penyakit-penyakit yang ada di dalam dada) yakni penyakit akidah yang rusak dan keragu-raguan (dan petunjuk) dari kesesatan (serta rahmat bagi orang-orang yang beriman) kepadanya (Hidayat, 2010).

Ayat ini menegaskan bahwa al-Qur'an adalah obat bagi apa yang terdapat dalam dada. Penyebutan kata dada, yang diartikan dengan hati, menunjukkan bahwa wahyu-wahyu Ilahi itu berfungsi menyembuhkan penyakit-penyakit ruhani seperti ragu, dengki, takabur, dan semacamnya. Memang, oleh al-Qur'an, hati ditunjuknya sebagai wadah yang menampung rasa cinta dan benci, berkehendak dan menolak. Bahkan, hati dinilai sebagai alat untuk mengetahui. Hati juga yang mampu melahirkan ketenangan dan kegelisahan serta menampung sifat-sifat baik dan terpuji. Sementara ulama memahami bahwa ayat-ayat al-Qur'an juga dapat menyembuhkan penyakit-penyakit jasmani (Shihab, 2002, 5: 438-439).

Dalam kitab pengobatan (56) ayat 1 Shahih Bukhari ayat 5256 yang berkata bahwa:

حَدَّثَنَا مُحَمَّدُ بْنُ الْمُثَنَّى حَدَّثَنَا أَبُو أَحْمَدَ الزُّبَيْرِيُّ حَدَّثَنَا عُمَرُ بْنُ
سَعِيدِ بْنِ أَبِي حُسَيْنٍ قَالَ حَدَّثَنِي عَطَاءُ بْنُ أَبِي رَاحٍ عَنْ أَبِي
هُرَيْرَةَ رَضِيَ اللَّهُ عَنْهُ عَنِ النَّبِيِّ صَلَّى اللَّهُ عَلَيْهِ وَسَلَّمَ قَالَ مَا أَنْزَلَ
اللَّهُ دَاءً إِلَّا أَنْزَلَ لَهُ شِفَاءً

Artinya:

Telah menceritakan kepada kami *Muhammad bin Al Mutsanna* telah menceritakan kepada kami *Abu Ahmad Az Zubairi* telah menceritakan kepada kami *'Umar bin Sa'id bin Abu Husain* dia berkata; telah menceritakan kepadaku *'Atha` bin Abu Rabah* dari *Abu Hurairah* radiallahu 'anhu dari Nabi shallallahu 'alaihi wasallam beliau bersabda: "Allah tidak akan menurunkan penyakit melainkan menurunkan obatnya juga" (Muslimin, 2011).

Penyakit dalam hal ini termasuk juga penyakit kanker. Ungkapan “Setiap penyakit ada obatnya” bersifat umum sehingga di dalamnya juga termasuk penyakit-penyakit mematikan dan berbagai penyakit yang masih sulit untuk disembuhkan, seperti kanker. Allah SWT. telah menjadikan penyakit dan obat-obatan untuk menyembuhkannya.

Dalam penelitian ini, akan dilakukan studi Hubungan Kuantitatif Struktur-Aktivitas di mana prinsip dari metode ini didasarkan pada keteraturan pola gugus fungsi dari struktur senyawa kimia yang akan diteliti. Hal ini berdasar pada prinsip keteraturan yang telah ada dalam al-quran, seperti pada QS. Yunus (10): ayat 5–6.

Terjemahnya:

Dia-lah yang menjadikan matahari bersinar dan bulan bercahaya dan ditetapkan-Nya manzilah-manzilah (tempat-tempat) bagi perjalanan bulan itu, supaya kamu mengetahui bilangan tahun dan perhitungan (waktu). Allah tidak menciptakan yang demikian itu melainkan dengan hak. Dia menjelaskan tanda-tanda (kebesaran-Nya) kepada orang-orang yang mengetahui (5).

Sesungguhnya pada pertukaran malam dan siang itu dan pada apa yang diciptakan Allah di langit dan di bumi, benar-benar terdapat tanda-tanda (kekuasaan-Nya) bagi orang-orang yang bertakwa (6).

Ayat ini masih merupakan lanjutan dari uraian tentang kuasa Allah swt. serta ilmu dan hikmah-Nya dalam mencipta, menguasai, dan mengatur alam raya. Ayat ini merupakan salah satu bukti keesaan Allah swt. dalam pemeliharaan-Nya terhadap manusia. Penutup ayat ini mengisyaratkan bahwa perubahan-perubahan yang terjadi di alam

raya ini seharusnya menyadarkan manusia bahwa ia tidak akan tetap dalam keadaannya, tetapi pasti berubah. Aneka perubahan terjadi, antara lain yang terlihat sehari-hari, seperti kematian, dan karena itu hendaklah setiap orang berhati-hati dan mempersiapkan diri dengan perubahan-perubahan itu (Shihab, 2002, 5: 334–335).

Allah swt. yang menciptakan langit dan bumi. Dia juga yang menjadikan matahari bersinar di waktu siang, dan bulan bercahaya di waktu malam, peristiwa malam dan siang, serta pergantian antar keduanya, ketika yang satu datang sesusah yang lain, juga pada panjang dan pendeknya siang dan malam sesuai dengan perbedaan posisi bumi terhadap matahari, dan pada aturan yang teliti dari malam dan siang ini, segala sesuatu dapat diatur dengan konsep yang sangat teratur. Kemudian pada QS. Yasin (36): ayat 38–40.

Terjemahnya:

Dan matahari berjalan ditempat peredarannya. Demikianlah ketetapan yang Maha Perkasa lagi Maha mengetahui (38).

Dan telah Kami tetapkan bagi bulan manzilah-manzilah, sehingga (setelah Dia sampai ke manzilah yang terakhir) Kembalilah Dia sebagai bentuk tandan yang tua (39).

Tidaklah mungkin bagi matahari mendapatkan bulan dan malampun tidak dapat mendahului siang. dan masing-masing beredar pada garis edarnya (40).

Ayat ini memberi contoh kuasa Allah swt. yang lain. Allah swt. menjadikan bagian bumi diliputi kegelapan adalah bahwa matahari terus-menerus beredar pada garis edarnya secara amat teratur sejak penciptaannya hingga kini. Akibat peredarannya itulah maka terjadi malam dan siang serta gelap dan terang. Ada jarak yang sangat jauh yang memisahkan antara bintang dan planet-planet. Jarak antara bumi dan matahari diperkirakan sekitar tiga puluh sembilan juta mil, sedang jarak antara bulan dan bumi adalah sekitar 240.000 mil. Jarak ini sangat sederhana jika dibandingkan dengan jarak antara planet tata surya dan bintang yang terdekat kepadanya. Jaraknya sekitar empat ribu tahun cahaya, sedang kecepatan cahaya diperkirakan sekitar 186.000 mil setiap detik sehingga bintang yang terdekat berada pada kejauhan sekitar 104.000.000.000 mil. Sekelumit dari kuasa dan qudrat Allah itu dapat diketahui jika membayangkan besarnya matahari yang mencapai satu juta kali lipat besarnya bumi, dan bahwa matahari bergerak di angkasa raya yang begitu luas, dan dalam keadaan yang sangat teliti lagi teratur (Shihab, 2002, 11: 150–151).

- ***Kanker***

Kanker adalah kelompok penyakit yang menyebabkan sel-sel dalam tubuh berubah dan tumbuh di luar kendali (American Cancer Society, 2013: 1). Kanker adalah penyakit di mana pengendalian pertumbuhan hilang dalam satu atau

lebih sel, mengarah ke massa padat (*solid mass*) sel yang dikenal sebagai tumor (Thurston, 2007: 1). Kualitas hidup yang dihubungkan dengan kesehatan sekarang menjadi titik yang sangat penting dalam uji klinis kanker. Beberapa studi pada pasien kanker, kasus kanker payudara banyak mendapat perhatian untuk berbagai alasan. Pertama, jumlah wanita dengan kanker payudara meningkat. Telah dilaporkan bahwa setiap tahun lebih dari 1,1 juta wanita di seluruh dunia didiagnosa dengan kanker payudara dan 410.000 meninggal. Kedua, deteksi dini dan pengobatan kanker payudara terus ditingkatkan. Ketiga, kanker payudara mempengaruhi identitas wanita, karena berhubungan dengan organ vital (Montazeri, 2008: 2).

Kanker umumnya diberi nama sesuai dengan jenis jaringan tempat munculnya. Sebagai contoh, istilah sarkoma menggambarkan tumor yang timbul dari jaringan mesodermal, yang meliputi jaringan ikat, tulang, tulang rawan, lemak, otot, dan pembuluh darah. Osteosarkoma mengacu pada kanker tulang, dan karsinoma mengacu pada tumor jaringan epitel seperti selaput lendir dan kelenjar (termasuk kanker payudara, ovarium, dan paru-paru). Kanker sel sumsum tulang yang disebut sebagai mieloma dan multiple mieloma (yang paling umum kanker sumsum tulang) (Thurston, 2007: 2).

- **Siklus Pembelahan Sel**

Siklus pembelahan sel pada dasarnya dibagi dalam dua fase, yaitu fase mitosis (M) dan fase interval (antara akhir mitosis dan awal mitosis yang disebut sebagai interfase). Penggandaan DNA terjadi pada interfase yang disebut sebagai fase S (sintesis), sedangkan penggandaan sel terjadi pada fase M (mitosis). *Gap/jeda* antara akhir fase M dengan awal fase S disebut fase G-1. Sedangkan *gap/jeda* antara akhir fase S dengan awal fase M disebut fase G-2 sehingga siklus sel dikenal ada empat fase, yaitu fase M, G-1, S, dan G-2 (Sudiana, 2008: 22).

Pada akhir telofase, sel membentuk suatu protein yang disebut *Anaphase Promoting Complex* (APC). APC menguraikan ikatan kompleks antara siklin AB dengan CDK-1 pada fase M melalui suatu proses yang disebut sebagai *ubiquitiniasi*. Selain itu, APC juga memicu protein yang mendorong aktivitas pada fase G-1. Pada fase G-1 ditemukan suatu faktor yang menginduksi fase G-1 untuk masuk fase S, faktor ini disebut sebagai *S-phase Promoting Factor* (SPF). Selanjutnya, di akhir dari fase G-2 dan di awal dari fase M ditemukan suatu faktor yang menginduksi fase G-2 untuk masuk ke fase M yang disebut *M-phase Promoting Factor* (MPF). Khususnya pada mamalia, untuk masuk ke setiap fase akan diinduksi oleh suatu *Cyclin Dependent-protein Kinase* (CDK) yang membentuk kompleks dengan *cyclin*. Fase G-1 akan diinduksi oleh CDK-4 dan CDK-6 yang membentuk kompleks dengan *cyclin-D* dan *cyclin-E*.

CDK-*cyclin* G-1 kompleks ini akan memfosforilasi protein retinoblastoma (p-RB) yang semula memblokir aktivitas faktor transkripsi (seperti E2F, ABL). Proses fosforilasi ini mengakibatkan p-RB menjadi inaktif. Ketidakaktifan dari p-RB mengakibatkan faktor transkripsi menjadi aktif, sehingga disintesis beberapa protein seperti CDC-6p, Dbf-4p, CDC-7p, MCM-p, dan beberapa jenis enzim, antara lain polimerase, primase, helikase, ligase, maupun topoisomerase (*gyrase*) (Sudiana, 2008: 22–23).

- **Metastasis**

Metastasis adalah istilah yang digunakan untuk menggambarkan kemampuan tumor padat menyebar ke situs-situs baru di dalam tubuh dan membangun tumor sekunder. Banyak pasien yang meninggal karena kanker sebagai akibat dari penyebaran metastasis ke organ vital dibanding dari tumor utama. Sel tumor sering menembus dinding pembuluh limfatik, mendistribusikan pada kelenjar getah bening kering, dan pindah ke tempat yang lain. Sel tumor juga dapat langsung menyerang pembuluh darah kapiler karena memiliki dinding tipis yang memiliki sedikit perlawanan. Selanjutnya, kedua tumor primer dan sekunder dapat memperbesar ukuran dan masuk pada jaringan sekitarnya. Ketika ujung saraf terkena, maka muncul rasa sakit dan tidak nyaman. Tumor juga bisa menyebar di seluruh rongga tubuh dari satu organ ke organ lain (misalnya, perut ke ovarium) (Thurston, 2007: 2).

- **Pembentukan Sel Kanker (Tumorigenesis)**

Pada tingkat gen, kanker secara konstan mengubah modifikasi pada genetik dari sel baik secara internal dan eksternal (misalnya lingkungan). Proses ini ditetapkan sebagai penemuan dari gen termutasi dengan pengaruh tambahan fungsi (dikenal dengan onkogen) dan beberapa dengan kehilangan fungsi (dikenal dengan tumor supresor gen). Pada tingkat selular, Weinberd *et al* telah mengusulkan aturan sederhana untuk menjelaskan transformasi dari sel sehat ke sel tumor. Mereka mengemukakan bahwa ada beberapa sel atau karakteristik biokimia dalam keadaan sel biasa menjadi sebagian besar atau mungkin semua jenis dari kanker pada manusia (Thurston, 2007: 4).

Tumorigenesis adalah proses dengan tahap yang panjang, dengan setiap tahap mencerminkan perubahan gen yang meningkatkan transformasi dari sel normal ke sel tumor. Penelitian menunjukkan bahwa gen sel tumor sering dimodifikasi pada berbagai tempat yang berbeda, berkisar dari gangguan halus seperti mutasi (misalnya sepasang asam deoksiribonukleat (DNA) berubah) menjadi masalah yang lebih nyata seperti translokasi kromosom (Thurston, 2007: 4). Berdasarkan pada penelitian ini, peneliti mengajukan perkembangan tumor terjadi melewati proses yang sama seperti evolusi Darwinian, dimana urutan perubahan genetik, menyediakan jenis yang berbeda dari keuntungan pertumbuhan,

yang mengacu pada perubahan sel normal ke sel tumor (Thurston, 2007: 4).

- **Kanker Payudara**

Telah lama diakui bahwa tumor yang berasal dari jaringan bergantung pada hormon, seperti payudara, endometrium, dan testis, bergantung pada hormon yang sama. Respon tumor dan efek samping yang beracun harus selalu dimonitor dan perubahan pengobatan jika terjadi perkembangan (Thurston, 2007: 127). Kanker payudara adalah penyakit heterogen yang mencakup beberapa entitas (*distinct entities*) dengan karakteristik biologis dan klinis yang sangat berbeda. Kanker payudara umumnya didiagnosis berdasarkan ada atau tidak adanya tiga reseptor: reseptor estrogen (ER), reseptor progesteron (PR), reseptor faktor pertumbuhan epidermal manusia-2 (HER-2). Sebagian besar (lebih dari 60%) dari pasien kanker payudara positif terhadap ER, PR, dan HER-2. Namun, ada sekitar 15% dari semua jenis kanker payudara pada wanita yang tidak positif terhadap ketiga reseptor ini, dan disebut sebagai kanker payudara *triple-negative* (Chen and Russo, 2009: 162–163).

Estrogen, terutama estradiol 17 (E2), sangat penting untuk pertumbuhan dan diferensiasi sel-sel epitel payudara secara normal. Umumnya estrogen mengatur respon seluler melalui ikatan dengan dua reseptor kognitif, ER dan ER, yang merupakan ligan pengatur transkripsi dengan berbagai fungsi fisiologis. Dalam inti sel, estrogen memodulasi ekspresi gen estrogen responsif melalui aksi kedua reseptor estrogen pada tahap transkripsi. Estrogen juga dikonversi menjadi metabolit estrogen oksidatif melalui sejumlah enzim sitokrom P450 dalam sel payudara. Namun, kelebihan estrogen merupakan faktor etiologi utama pada perkembangan kanker payudara. Efek karsinogenik dari E2 disebabkan oleh perubahan jalur genomik inti yang dimediasi oleh ER dan ER, jalur nongenomik dimediasi oleh membran plasma yang terhubung reseptor estrogen dan efek genotoksik yang dihasilkan oleh kerusakan oksidatif dari metabolit estrogen. Ada dua bentuk reseptor progesteron, yaitu PR-A dan PR-B. kedua reseptor ini termasuk faktor transkripsi inti yang teraktivasi ligan yang memediasi aksi progesteron. Adanya reseptor ini pada tumor payudara digunakan untuk memprediksi fungsi dari reseptor estrogen, dan juga untuk memprediksi kemungkinan adanya respon pada terapi endokrin. Telah terbukti bahwa pasien dengan kadar PR-A yang tinggi memiliki tingkat ketahanan tubuh yang rendah terhadap penyakit ini dan PR-B terlibat dalam stimulasi insulin dengan migrasi sel pada sel kanker payudara. Progesteron dan reseptor progesteron sangat penting dalam peningkatan estrogen pada kanker payudara. Ekspresi yang berlebihan (*over-expression*) dan/atau penguatan gen (*gene amplification*) dari HER-2 adalah tanda patologis yang penting pada pasien kanker payudara yang positif terhadap reseptor estrogen. Ekspresi yang berlebihan dari HER-2

terjadi akibat aktivitas selular yang tidak normal (Chen dan Russo, 2009: 163).

Karsinogenesis payudara melibatkan perubahan genetik dan epigenetik yang menyebabkan fungsi gen menyimpang (Lo dan Sukumar, 2008: 1879–1880). Semua wanita dengan kanker payudara dini harus dipertimbangkan untuk mendapat terapi pembantu diikuti operasi pengangkatan tumor. Pilihan pengobatan tambahan ditentukan oleh faktor risiko kekambuhan, status reseptor estrogen tumor primer, dan status *menopause* (Thurston, 2007: 127). Faktor-faktor lain yang perlu diperhatikan dan menjadi faktor risiko terjadi kanker payudara antara lain densitas payudara, usia, riwayat kanker keluarga, serta komposisi jaringan payudara (Boyd *et al*, 2010: 1225–1229).

- **Diagnosis Kanker Payudara**

- Pemeriksaan klinis

- Menyajikan: Massa payudara, nyeri payudara, keluarnya cairan dari puting, penyusutan puting, nyeri ketiak, pembengkakan lengan, gejala kemungkinan penyebaran metastasis.
- Riwayat medis pasien kanker payudara secara rinci.
- Riwayat keluarga pasien kanker payudara dan kanker lainnya
- Riwayat reproduksi: Usia saat menstruasi, usia pada saat persalinan pertama, jumlah kehamilan, anak dan keguguran, serta usia saat mulai menopause, riwayat penggunaan hormon, termasuk pil kontrasepsi dan terapi pengganti hormon
- Riwayat medis secara umum.

- Pemeriksaan fisik

Pemeriksaan fisik yang cermat harus mencakup hal-hal seperti berat, tinggi dan luas permukaan tubuh, pemeriksaan umum lain, pemeriksaan lokal: Massa payudara: ukuran, lokasi (ditentukan oleh jarak dari tepi areola), bentuk, konsistensi, fiksasi pada kulit, dan otot-otot dada. Perubahan pada kulit: lokasi dan luas eritema, edema, infiltrasi, dan ulserasi. Perubahan puting: retraksi, eritema, erosi dan ulserasi. Pemeriksaan lokal pada kemungkinan tempat metastasis.

(WHO, 2006: 11–12)

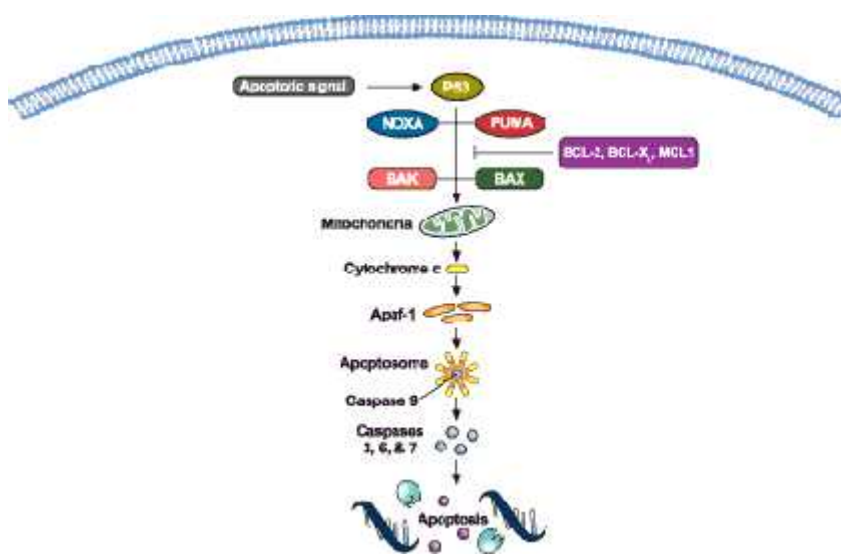
- ***Apoptosis dan Proliferasi Sel***

Apoptosis merupakan proses destruksi selular yang secara normal terdapat dalam tubuh untuk melindungi sel dengan melawan sel-sel yang abnormal atau sel-sel yang cacat (*faulty cells*). Setiap sel mampu menangkap rangkaian sinyal kimia yang berbeda. Apabila terdapat sinyal yang kurang atau tidak ada, maka mekanisme destruksi sel akan diinisiasi. Apoptosis juga penting dalam menghancurkan sel yang keluar dari lingkungan jaringan normalnya. Sel kanker yang mengalami metastasis telah mengalami perubahan genetik sehingga terhindar dari proses ini. Dua jalur apoptosis telah digolongkan (Patrick, 2009: 522–523):

- Rute eksternal di mana apoptosis hasil dari faktor eksternal, yang terdiri atas tiga bentuk. Pertama, kurangnya hormon faktor pertumbuhan. Kedua, terdapat protein yang disebut protein aktivator kematian (*death activator proteins*) yang dapat terikat pada protein membran sel yang disebut reseptor faktor nekrosis tumor (*tumour necrosis factor receptors*, TNF-R). Hal ini memicu sinyal inisiasi proses apoptosis, sehingga sistem imun memproduksi limfosit T yang beredar pada tubuh untuk mencari sel yang rusak. Pada saat ditemukan, limfosit melubangi membran sel dari sel yang rusak dan memasukkan enzim yang disebut *granzyme*, yang menginisiasi apoptosis.
- Jalur intrinsik dapat timbul dari faktor-faktor seperti kerusakan DNA yang disebabkan oleh senyawa kimia, obat-obatan, atau stres oksidatif. Sel memiliki sistem yang mendeteksi kerusakan dan menyebabkan peningkatan produksi dari protein penekan tumor (*tumour suppressor protein*) p53. Pada kadar yang cukup, protein ini akan memicu apoptosis.

Mitokondria mengandung protein yang dapat menyebabkan apoptosis, yaitu sitokrom C. Pelepasan sitokrom C dari mitokondria menghasilkan protein kompleks yang dikenal dengan apoptosom yang berasal dari protein yang disebut Apaf-1. Apoptosom kemudian mengaktivasi enzim procaspase 9 yang akan mengaktivasi caspase. Caspase adalah enzim protease yang mengandung residu sistein dengan sisi aktif yang penting dalam mekanisme katalisis. Karena caspase merupakan enzim protease, sehingga dapat menghancurkan protein sel dan mengarah pada destruksi sel (Patrick, 2009: 523)

Caspase 3, 6, dan 7
Apoptosom
Sitokrom C
Sinyal apoptosis
Mitokondria



Gambar II.1. Mekanisme Apoptosis

- **Reseptor σ_2**

Reseptor sigma adalah protein reseptor obat yang unik yang terdapat dalam sistem saraf pusat serta dalam berbagai jaringan perifer (Crawford dan Bowen, 2002: 313). Klasifikasi reseptor ke dalam dua subtype yang berbeda, σ_1 dan σ_2 , berdasarkan berat molekul, distribusi jaringan, dan lokasi subseluler mendorong penyelidikan tentang peran fungsional kedua reseptor ini (Marrazzo *et al*, 2011: 3669). Reseptor σ_2 merupakan target penting bagi pengembangan molekuler dalam onkologi karena densitasnya (*density*) yang sepuluh kali lipat dalam sel tumor yang berproliferasi dibandingkan dengan sel tumor jinak (*quiescent tumor cells*) dan juga karena pengamatan bahwa agonis reseptor σ_2 mampu membunuh sel-sel tumor melalui mekanisme apoptosis dan non-apoptosis (Mach *et al*, 2013: 7137).

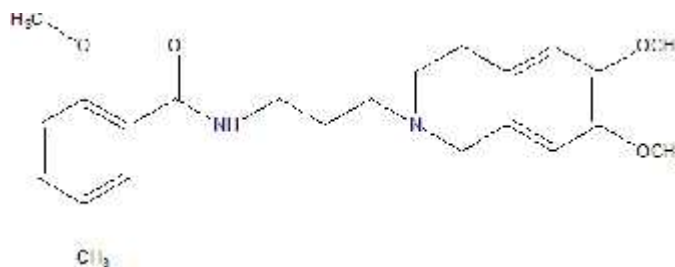
Reseptor σ pada awalnya ditandai sebagai sub tipe dari reseptor opiat. Pada tahap berikutnya dalam penelitian untuk mengidentifikasi reseptor dengan menambahkan ligan dan radioligan yang bisa terikat pada protein ini. Dengan menambahkan beberapa ligan dan radioligan ini akhirnya dianalisis bahwa terdapat dua subtype dari reseptor σ , disebut σ_1 dan σ_2 . Reseptor σ_1 secara luas didistribusikan pada otak, sementara σ_2 berhubungan dengan tumor dan jaringan yang berkembang biak. Reseptor σ_2 adalah reseptor yang diidentifikasi oleh Hellewell dan Bowen pada sel tumor PC12 dan memiliki berat molekul sekitar 21,5 kDa (Mach *et al*, 2013: 7137).

Sebuah ekspresi yang berlebihan dari reseptor σ_2 telah dilaporkan dalam berbagai tumor pada manusia. Pengamatan menunjukkan bahwa densitas reseptor σ_2 lebih besar dari reseptor σ_1 pada pertumbuhan sel tumor dalam berbagai kondisi kultur sel, yang mengindikasikan bahwa reseptor σ_2 mungkin sebagai biomarker proliferasi sel tumor. Dalam berbagai penelitian yang dirancang untuk menguji hipotesis ini, densitas reseptor σ_2 ditemukan sepuluh kali lipat

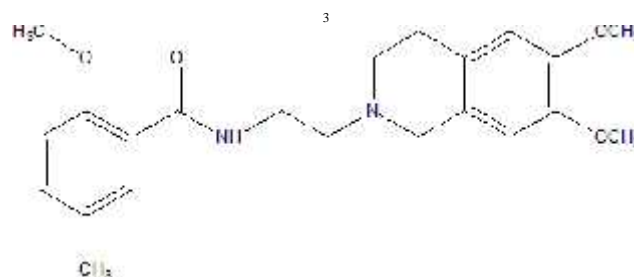
lebih tinggi dalam proses proliferasi sel (Tu *et al*, 2007: 3194).

Reseptor σ_2 menginduksi apoptosis pada berbagai tipe sel. Seramid, sebuah spingolipid, terlibat dalam proliferasi sel. Agonis reseptor σ_2 1R,5R-E-8-(3,4-diklorobenziliden)-5-(3-hidroksifenil)-2-metilmorfan-7-on (CB-184) dan 1S, 2R-cis-N-[2-(3,4-diklorofenil)etil]-N-metil-2-(1-pirolidinil)-sikloheksilamin (BD737) menyebabkan peningkatan seramid disertai penurunan spingomyelin. Kedua efek yang dilemahkan oleh antagonis reseptor σ_2 yang baru, N-fenetilpiperidin oksalat (AC927). Reseptor σ_2 dapat menghasilkan efek pada pertumbuhan sel dan apoptosis yang diregulasi pada jalur spingolipid (Crawford, 2002: 207).

N-[4-(3,4-dihidro-6,7-dimetoksiisoquinolin)butil]-2-metoksi-5-metilbenzamida (RHM-1) dan N-[2-(3,4-dihidro-6,7-dimetoksiisoquinolin)etil]-2-metoksi-5-metilbenzamida (RHM-2), dua konformasi analog benzamida telah *diradiolabeled* dengan tritium (aktivitas spesifik=80 Ci/mmol) dan ikatan dari [^3H]RHM-1 dan [^3H]RHM-2 pada reseptor sigma-2 (σ_2) telah dievaluasi secara *in vitro*. [^3H]RHM-1 ditemukan memiliki afinitas yang lebih tinggi pada reseptor σ_2 dibanding dengan [^3H]RHM-2 dan [^3H]1,3-di-o-tolilguanidin. [^3H]RHM-1 memiliki konstanta disosiasi (K_d) $0,66 \pm 0,12$ nM pada membran hati tikus, yang lebih tinggi 30 kali lipat dari [^3H]RHM-2 ($K_d=19,48 \pm 0,51$ nM). Profil farmakologi dari [^3H]RHM-1 sesuai dengan [^3H]DTG. Hasil dari studi ini mengindikasikan bahwa [^3H]RHM-1 merupakan ligan yang bisa digunakan dalam studi reseptor σ_2 secara *in vitro* (Xu *et al*, 2005: 8).



Gambar II.2. Struktur kimia [^3H]RHM-1

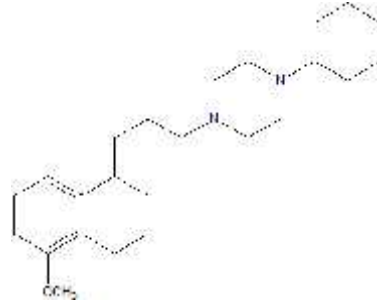


Gambar II.3. Struktur kimia [^3H]RHM-2

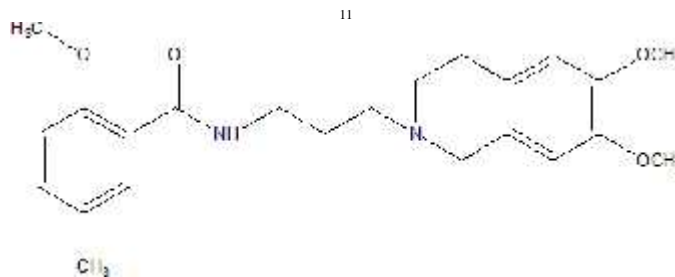
Senyawa analog 9-azabisiklo[3,3,1]nonan-3-fenilkarbamat disiapkan dan afinitasnya terhadap reseptor sigma (σ_1 dan σ_2) telah dihitung secara *in vitro*. Hasil dari studi hubungan struktur-aktivitas dari dua senyawa baru, N-(9-(4-aminobutil)-9azabisiklo[3,3,1]nonan-3)-N'-(2-metoksi-5-metilfenil)karbamat dan N-(9-(6-

aminoheksil)-9azabisiklo[3,3,1]nonan-3)-N²-(2-metoksi-5-metilfenil)karbamat, memiliki afinitas dan selektivitas yang tinggi pada reseptor ₂ dibanding ₁ (Vangveravong *et al*, 2006: 6988).

1-sikloheksil-4-[3-(5-metoksi-1,2,3,4-tetrahidronaptalen)propil]piperazin (PB28) dan 2-metoksi-5-metil-N-[4-(3,4-dihidro-6,7-dimetoksi isoquinolin)butil]-2-metoksi-5-metilbenzamida (RHM-1) merupakan senyawa yang digunakan dalam diagnosis tumor, dengan memberikan afinitas yang tinggi pada reseptor ₂ (Abate *et al*, 2011: 4733).

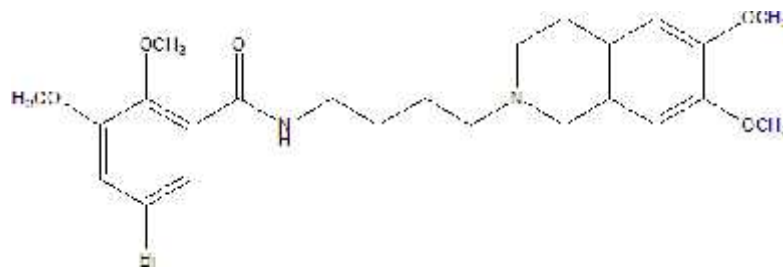


Gambar II.4. Struktur senyawa PB28



Gambar II.5. Struktur senyawa RHM-1

5-bromo-N-[4-(6,7-dimetoksi-3,4-dihidro-1H-isokuinolin)-butil]-2,3-dimetoksi-benzamida (1) adalah satu dari yang paling berpotensi dan ligan yang selektif pada reseptor ₂. Senyawa-senyawa ini, di mana cincin amin ditambahkan pada cincin aromatik lalu divariasikan dan lokasi nitrogen dalam cincin yang dimodifikasi, telah disintesis dan diperkirakan afinitas ikatannya pada reseptor ₁ dan ₂ (Fan *et al*, 2011: 1852).



Gambar II.6. Struktur senyawa (1)

Senyawa 7-azabisiklo[2.2.1]heptana tersubstitusi N dan piperidin disintesis dan secara *in vitro* dinyatakan bahwa substituen arilalkil selektif terhadap reseptor ₂, sementara substituen alisiklik atau polikarboksilat memberikan selektivitas yang sama pada kedua reseptor (Banister *et al*, 2012: 4059).

Reseptor ₂ merupakan biomarker yang menjanjikan dalam diagnosis kanker yang memberikan hubungan antara

status proliferasi tumor dan kepadatannya. Dengan tujuan untuk berkontribusi pada penelitian reseptor σ_2 dengan metode *Positron Emission Tomography* (PET), dikembangkan senyawa 2-[3-[6,7-dimetoksi-3,4-dihidroisokuinolin-2(1H)-il]propil]-3,4-dihidroisokuinolin dengan data farmakologi σ_2 yang optimal dan lipofilisitas yang tepat (Abate *et al*, 2013: 920).

Serangkaian kecil senyawa turunan 1-indol-2-(4-fenilpiperidin)-etanon telah disintesis menggunakan *Microwave Assisted Organic Synthesis* (MAOS). Mengingat bahwa ligan GluN2B sering diuji pada tingkat afinitasnya terhadap reseptor sigma, maka dalam hal ini penemuan ligan yang selektif pada reseptor σ_2 juga memberikan hasil yang tak terduga dari seleksi aktivitas pada reseptor sistem saraf pusat lainnya (Gitto *et al*, 2014: 393).

- **Hubungan Kuantitatif Struktur-Aktivitas**

Penemuan dan pengembangan obat memiliki pengaruh yang penting dalam perawatan kesehatan masyarakat sebagai kebutuhan akan obat baru yang lebih efektif. Melalui generasi perkembangan dan perbaikan, komputer menjadi komponen yang penting dalam kehidupan modern. Teknologi canggih mempercepat perkembangan baru di berbagai disiplin ilmu ilmiah. Salah satu contohnya adalah kimia komputasi. Penjelasan struktur dalam sintesis senyawa lebih efisien, dengan pendekatan komputasi untuk merancang molekul yang berinteraksi dengan cara tertentu dengan molekul lain, terutama dalam desain obat, dan untuk mengidentifikasi pola hubungan antara struktur kimia dan aktivitasnya (Lindsey, 1992: 15).

Interaksi obat dengan senyawa biologis ditentukan oleh gaya antarmolekul, seperti sifat hidrofobik, polar, elektrostatik, dan interaksi sterik. Hubungan kuantitatif struktur-aktivitas (HKSA) memberikan model yang menggambarkan ketergantungan struktural dengan aktivitas biologis baik melalui analisis Hansch, variabel indikator pengkodean fitur struktur yang berbeda (analisis Free Wilson), atau dengan profil molekul tiga dimensi dari senyawa (CoMFA) (Kubinyi, 1993: 1).

Tabel II.1 Daftar deskriptor

No.	Simbol pada software	Simbol umum	Deskriptor
1.	AM1_dipole	μ	Momen dipol
2.	AM1_E	E_{Tot}	Energi total
3.	AM1_Eele	E_{Ele}	Energi elektronik
4.	AM1_HOMO	E_{HOMO}	Energi HOMO
5.	AM1_LUMO	E_{LUMO}	Energi LUMO

6.	AM1_HF	HF	Pembentukan panas
7.	ASA_H		Luas permukaan hidrofobik
8.	Glob	Glob	Globularitas
9.	log P (o/w)	log P	Koefisien partisi
10.	log S	log S	Logaritma kelarutan dalam air
11.	Mr	MR	Refraktivitas molar
12.	VSA	VSA	Daerah permukaan van Der Waals
13.	Vol	Vol	Volume molekular

Hubungan kuantitatif struktur-aktivitas (HKSA) adalah metode komputasi atau model matematik untuk menemukan korelasi signifikan secara statistik antara struktur dan fungsi menggunakan teknik kemometrik. Dari segi desain obat, struktur di sini merujuk pada sifat atau deskripsi dari molekul, substituen atau interaksi medan energi, fungsi yang sesuai dengan suatu eksperimental biologi/biokimia seperti afinitas ikatan, aktivitas, toksisitas atau tingkat konstanta, sementara metode kemometrik seperti MLR (*multiple linear regression*), PLS (*partial least-square*), PCA (*principal component analysis*), PCR (*principal component regression*), ANN (*artificial neural networks*), GA (*genetic algorithms*), dan sebagainya. Berbagai pendekatan HKSA telah dikembangkan secara bertahap selama rentang waktu lebih dari seratus tahun dan berfungsi sebagai alat prediktif yang penting, khususnya dalam desain obat-obatan dan bahan kimia pertanian. Metode-metode telah berevolusi dari Hansch dan Free-Wilson dengan hubungan satu atau dua dimensi dengan energi bebas, dengan HKSA tiga dimensi oleh Crammer, dimensi keempat oleh Hopfinger, dan Vedani untuk dimensi kelima dan keenam. Semua metode satu dan dua dimensi serta metode-metode yang berhubungan semuanya mengacu pada metodologi HKSA klasik, dan telah dibahas secara singkat pada bagian-bagian selanjutnya. Terlepas dari jenisnya, semua formalisme HKSA menganggap bahwa setiap molekul yang termasuk dalam studi ini mengikat ke situs yang sama dari reseptor target yang sama. Namun, perbedaan utama antara semua formalisme ini berada pada masing-masing sifat struktural molekul yang dimiliki dan hubungan kuantitatif antara sifat dan aktivitas (Verma *et al*, 2010: 95).

Data biologis dari berbagai jenis telah digunakan dalam hubungan kuantitatif struktur-aktivitas; perlu dicatat bahwa (terutama pada parameter farmakokinetik) hanya tergantung pada nilai-nilai variasi struktur yang dianggap dalam konteks studi HKSA: data afinitas, seperti konstanta ikatan substrat atau reseptor, konstanta asosiasi atau disosiasi, konstanta Michealis Menten, konstanta inhibisi, terutama nilai K_i dan IC_{50} dari enzim yang berbeda, parameter farmakokinetik seperti konstanta absorpsi, distribusi, klirens, degradasi metabolisme, dan eliminasi (Kubinyi, 1993: 15).

Kebanyakan semua metode HKSA fokus pada hal-hal berikut:

- Untuk menghubungkan secara kuantitatif dan rekapitulasi hubungan antara kecenderungan perubahan struktur kimia dan perubahan masing-masing di titik akhir biologis dalam memahami sifat kimia yang paling mungkin sebagai penentu dalam aktivitas biologis.
- Untuk mengoptimalkan senyawa induk yang ada sehingga dapat meningkatkan aktivitas biologis.
- Untuk memprediksi aktivitas biologis dari senyawa yang belum teruji dan biasanya belum tersedia.

(Verma *et al*, 2010: 95)

HKSA menjadi alternatif yang berguna karena alasan berikut:

- Metode sintesis konvensional yang mahal dan memakan waktu yang lama.
- Tes biologis juga terlalu mahal, sering membutuhkan waktu banyak, mengorbankan banyak hewan, ataupun senyawa dalam bentuk murninya.
- Kegagalan obat karena profil ADMET yang kurang pada tahap akhir dari pengembangan (atau bahkan setelah dikomersilkan).
- Senyawa yang dibutuhkan dalam jumlah besar.

(Verma *et al*, 2010: 96)

Berdasarkan dimensinya, HKSA dikategorikan sesuai nilai-nilai deskriptornya, seperti: HKSA satu dimensi berhubungan dengan aktivitas molekul seperti pKa, log P dan sebagainya. HKSA dua dimensi berhubungan dengan aktivitas pola struktur seperti indeks konektivitas, farmakofor dua dimensi dan sebagainya, tanpa memperhitungkan representasi sifat tiga dimensinya. HKSA tiga dimensi berhubungan dengan bidang interaksi non-kovalen yang mengelilingi molekul. HKSA empat dimensi menambahkan konfigurasi ligan dalam HKSA tiga dimensi. HKSA lima dimensi secara eksplisit berbeda dengan model HKSA empat dimensi. HKSA enam dimensi selanjutnya menggabungkan model solvasi yang berbeda dari HKSA lima dimensi (Verma *et al*, 2010: 96).

Berdasarkan metode kemometrik, kadang-kadang metode HKSA juga diklasifikasikan ke dalam dua kategori berikut, tergantung pada jenis teknik korelasi yang digunakan untuk membangun hubungan antara sifat struktural dan aktivitas biologis. Metode Linear termasuk regresi linier (LR), regresi linier ganda (MLR), parsial kuadrat-terkecil (PLS), dan analisis/regresi komponen utama (PCA/PCR). Metode non-linear yang terdiri dari jaringan saraf tiruan

(JST), k-tetangga terdekat (kNN), dan jaring saraf Bayesian (Verma *et al*, 2010: 96).

Parameter fisika kimia dan parameter lain yang digunakan antara lain parameter lipofilisitas, yaitu koefisien partisi dan parameter kromatografi; parameter polaritas, yaitu bias molar, volume molar; parameter elektronik, yaitu konstanta Hammett, parameter resonansi, parameter yang dihasilkan dari data spektroskopik, momen dipol, dan parameter kimia kuantum; parameter sterik, yaitu hubungan energi bebas linear, atau pertimbangan geometri; parameter lain seperti bobot molekul, parameter geometri, konformasi entropi, indeks konektivitas, dan parameter topologikal lainnya (Kubinyi, 1993: 21).

- **Analisis Hansch**

Analisis Hansch menghubungkan nilai aktivitas biologis dengan sifat fisika kimia secara linear, linear ganda, atau analisis regresi nonlinear. Semua parameter yang digunakan dalam analisis Hansch ini adalah nilai yang berhubungan dengan energi bebas linear. Istilah “pendekatan hubungan energi bebas linear” atau “pendekatan ekstra termodinamik” merupakan sinonim dari analisis Hansch. Nilai aktivitas biologis didefinisikan sebagai nilai hubungan energi bebas linear (seperti konstanta ikatan atau inhibisi, konstanta absorpsi dan distribusi, atau kombinasinya). Hubungan nilai aktivitas biologis dengan lipofilisitas, seperti koefisien kelarutan atau partisi, hanya menjelaskan hubungan struktur-aktivitas nonspesifik. Hansch dan Fujita melakukan kombinasi berbagai parameter yang berbeda dalam satu persamaan, pada persamaan di bawah ini (C: konsentrasi molar yang memberikan efek biologis; ρ : parameter elektronik; k_1, k_2, k_3 : koefisien yang ditentukan dari analisis regresi multi linear (*linear multiple regression analysis*))

$$\log 1/C = k_1 \log P + k_2 + k_3 ;$$

$$\log 1/C = k_1 (\log P)^2 + k_2 \log P + k_3 + k_4$$

Dalam tiga dekade terakhir semua kemungkinan kombinasi parameter lipofilisitas, polaritas, elektronik, dan sterik, dengan atau tanpa adanya variabel indikator, telah digunakan dan dihubungkan dengan nilai aktivitas biologis (Kubinyi, 1993: 57–58).

- **Analisis Free-Wilson**

Pendekatan Free-Wilson merupakan model hubungan struktur-aktivitas sebenarnya. Variabel indikator yang digunakan untuk setiap fitur struktural dari senyawa, seperti angka 1, menyatakan adanya substituen, dan 0, tidak ada substituen, dihubungkan dengan nilai aktivitas biologis dengan analisis regresi multi linear. Koefisien hasil regresi dari variabel indikator adalah kontribusi aktivitas biologis dari adanya elemen-elemen pada struktur senyawa. “*Mathematical*

model”, “*additivity model*”, atau ”pendekatan *de novo*” adalah sinonim dari metode Free Wilson. Model persamaan Free Wilson tidak sederhana. Tidak ada senyawa dengan persamaan simetri yang dihasilkan dari persamaan linear antara variabel-variabel. Model Free Wilson mudah untuk digunakan, terutama pada fase analisis struktur-aktivitas yang menganalisis kontribusi substituen dengan kemungkinan sifat fisika kimianya. Namun, model Free Wilson juga memiliki kelemahan, pertama dan yang paling penting, variasi struktur dibutuhkan setidaknya pada dua posisi yang berbeda; sebaliknya, kontribusi gugus yang tidak berarti juga memberikan hasil, satu untuk setiap senyawa. Setiap substituen hanya memiliki satu data aktivitas. Prediksi untuk substituen yang tidak terdapat dalam senyawa untuk proses analisis tidak mungkin dilakukan, sehingga analisis Free Wilson terbatas dalam penggunaan hubungan struktur-aktivitas yang linear (Kubinyi, 1993: 62–65).

- **Analisis HKSA Tiga Dimensi (3D)**

Hubungan kuantitatif struktur-aktivitas (HKSA) tiga dimensi adalah istilah yang mencakup semua metode HKSA yang menghubungkan properti target makroskopik dengan hasil perhitungan deskriptor berdasarkan atom yang diwakili struktur molekul tiga dimensi. Metode HKSA tiga dimensi dapat diklasifikasikan dalam berbagai kriteria, salah satunya dengan metode analisis perbandingan molekul atau *Comparative Molecular Field Analysis* (CoMFA) (Verma *et al*, 2010: 98).

- ***Docking Molekul***

Secara umum, *docking* molekul adalah penggunaan komputerasi dalam memasang suatu molekul kecil pada reseptor (bagian ini sering didefinisikan sebagai sisi aktif dari enzim) melalui representasi yang dihasilkan komputerasi, yang diikuti oleh evaluasi struktur molekul dalam hal ini yaitu bentuk dan karakteristiknya seperti parameter elektrostatik. Subyek *docking* adalah pembentukan kompleks protein-ligan non kovalen. Suatu molekul dengan struktur yang baik mengindikasikan bahwa molekul tersebut potensial sebagai ligan pengikat yang baik. Hasil dari *docking* secara umum meliputi prediksi afinitas molekul, termasuk rangking dari senyawa yang di-*docking* berdasarkan pada afinitasnya. Pemodelan interaksi intermolekular kompleks ligand-protein tidaklah mudah karena berbagai derajat kebebasan dan kebatasan komputasi efek pelarut pada ikatan asosiasi (Gao *et al*, 2007: 90; Abraham, 2003: 289; Nadendla, 2004: 51–60).

Jika afinitas molekul pada reseptor dapat diprediksi dengan akurasi yang baik maka akan diperoleh berbagai

keuntungan dari pendekatan ini. Salah satunya adalah kemampuan untuk melakukan *docking* dan skoring molekul dalam jumlah yang besar dalam waktu yang cukup singkat. Hanya senyawa dengan prediksi afinitas terbaik yang kemudian akan dipilih untuk disintesis dan/atau diujicobakan. Beberapa hal yang menjadi tantangan yang dihadapi dengan menggunakan program *docking* adalah untuk memprediksi model pengikatan (*binding mode*) yang benar dari molekul (dalam hal ini prediksi posisi yang berkaitan dengan orientasi dan konformasi molekul pada sisi pengikatan reseptor) dan untuk memprediksikan afinitas pengikatan dari senyawa (untuk menghasilkan rangking relatif dari sejumlah senyawa) dengan kepercayaan tinggi (Gao *et al*, 2007: 90).

Pengikatan selektif molekul kecil ligan pada protein spesifik ditentukan dengan faktor struktur dan energi. Untuk ligan yang terkait dengan farmasi, ikatan ligan-protein biasanya timbul melalui interaksi non kovalen. Secara termodinamika, kekuatan interaksi antara protein dan ligan digambarkan dengan afinitas pengikatan atau energi bebas pengikatan (Gibbs). Berdasarkan persamaan Gibbs-Helmholtz, energi bebas pengikatan terdiri atas kontribusi entalpi dan entropi (Abraham DJ, 2003: 51–60).

Beberapa jenis *docking* molekul berdasarkan sifat ligan dan reseptornya, yaitu:

- *rigid body docking*, dimana reseptor dan ligan keduanya diperlakukan kaku,
- *flexible ligand docking*, dimana reseptor diperlakukan kaku dan ligan dapat digerakkan ke segala arah,
- *flexible docking*, dimana fleksibilitas reseptor dan ligan dibuat fleksibel.

Pada umumnya prosedur *docking* yang paling umum dipergunakan adalah model *flexible ligand docking* (Mohan, 2005: 323–333).

Fungsi skoring dapat dikategorikan dalam tiga kategori, yaitu (Mohan, 2005: 323 - 333):

- *knowledge-based*, berdasarkan fungsi statistik untuk memasukkan aturan yang dianjurkan dan tidak dianjurkan, interaksi pasangan atom dari eksperimen penentuan kompleks protein-ligan,
- *empirical-based*, menjumlahkan interaksi entalpi dan entropi dengan bobot relatif berdasarkan pengaturan kompleks protein-ligan,
- *forcefield-based*, fungsi ini hampir menyerupai *scoring* empirik dengan memprediksikan energi bebas pengikatan

dari kompleks protein-ligan dengan penambahan kontribusi individual dari berbagai tipe interaksi.

METODOLOGI PENELITIAN

- *Jenis dan Lokasi Penelitian*

- **Jenis Penelitian**

Jenis penelitian yang digunakan adalah studi kuantitatif.

- **Lokasi Penelitian**

Penelitian ini dilakukan di laboratorium komputer Fakultas Ilmu Kesehatan UIN Alauddin Makassar, Februari–Juni 2014.

- *Pendekatan Penelitian*

Pendekatan penelitian yang dilakukan adalah pendekatan eksperimentatif.

- *Alat dan Bahan*

- **Perangkat Keras**

Perangkat keras yang digunakan pada penelitian ini adalah perangkat keras berupa satu set komputer yang mampu melakukan perhitungan kimia komputasi dengan spesifikasi: Prosesor tipe AMD Radeon™ Core i5 3210M 2,50 GHz, HD 7670M , dan hard disk 640 GB.

- **Perangkat Lunak**

Hyperchem, Molecular Operating Environment (MOE) dan SPSS 17.

50

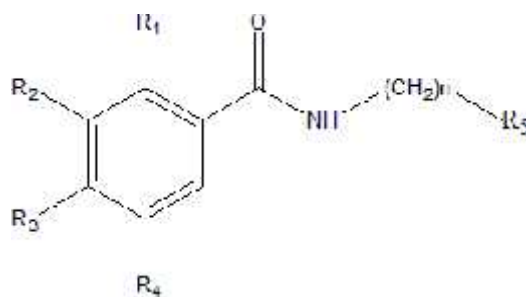
- *Prosedur Kerja*

- **Hubungan Kuantitatif Struktur-Aktivitas**

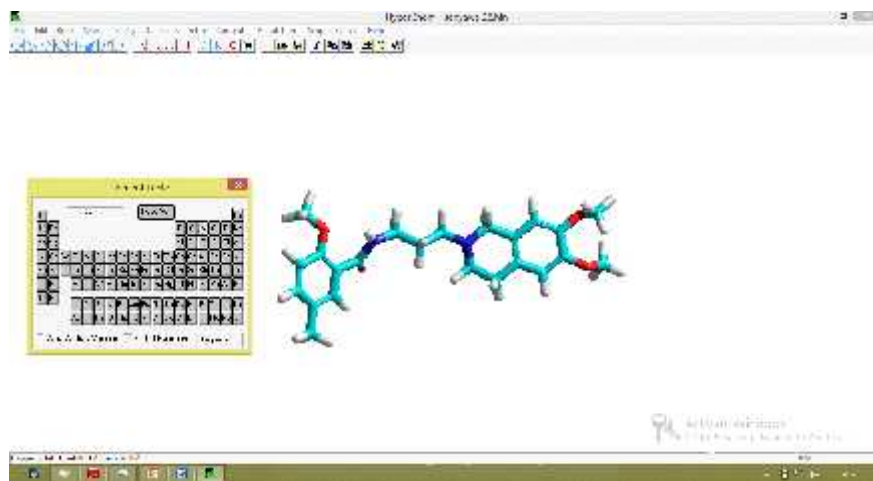
- **Pemodelan Struktur Senyawa**

Pemodelan struktur senyawa turunan benzamida dibuat dengan menggunakan paket program *Hyperchem*. Pembuatan model senyawa terdiri atas pemilihan atom, jenis ikatan, dan muatan total dari senyawa uji. Struktur tiga dimensi (3D) setiap senyawa disimpan dalam format ekstensi *.hin.

Sebagai bahan penelitian digunakan data nilai afinitas hasil eksperimen secara *in vitro* terhadap satu seri senyawa turunan benzamida yang diambil dari jurnal hasil penelitian Robert, Chenbo, dan William (2013) dengan judul *The α_2 Receptor: A Novel Protein for the Imaging and Treatment of Cancer* (*Journal of Medicinal Chemistry* 56, h. 7137–7160), serta penelitian Abate *et al* (2011) dengan judul *Arylamides hybrids of two high-affinity α_2 receptor ligands as tools for the development of PET radiotracers* (*European Journal of Medicinal Chemistry* 46, h. 4733–4741).



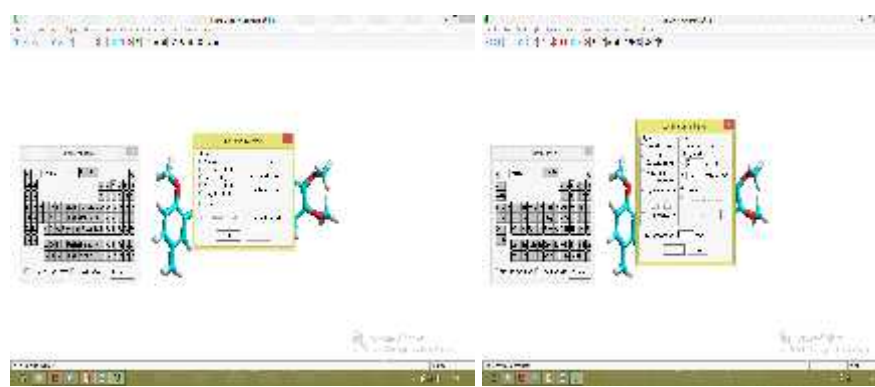
Gambar III.1. Benzamida



Gambar III.2. Jendela *Hyperchem*

- Optimasi Geometri

Struktur senyawa dioptimasi dengan perangkat lunak *Hyperchem* menggunakan metode *Ab initio*. Optimasi struktur geometri bertujuan untuk memperoleh konformasi struktur yang lebih stabil. Urutan perintah pada program *Hyperchem* yaitu *Hyperchem >> setup >> Ab initio*, selanjutnya diatur basis set menjadi *small*. Selanjutnya *Hyperchem >> Compute >> Geometry Optimization* untuk memulai perhitungan optimasi geometri dengan parameter *default*. Hasil perhitungan *Ab initio* lebih akurat dibanding dengan semiempirik, sebab *Ab initio* menyelesaikan semua persamaan mekanika kuantum secara eksak dan semua elektron yang ada diperhitungkan. File yang telah dioptimasi disimpan dalam format ekstensi *.mol.



Gambar III.3. Panel Optimasi *Ab Initio* menggunakan program *Hyperchem*

- Kalkulasi Deskriptor

Nilai deskriptor dikalkulasi menggunakan program MOE. Deskriptor yang dihitung adalah AM1_dipole, AM1_E, AM1_Eele, AM1_HF, AM1_HOMO, AM1_LUMO, ASA_H, glob, log P (o/w), log S, mr, vol, VSA. Perhitungan dimulai dengan pembuatan database senyawa turunan benzamida dengan memasukkan struktur senyawa yang telah dioptimasi ke file database.

Urutan perintah untuk kalkulasi deskriptor adalah *Database Viewer >> Compute >> Descriptors >> Calculate*, kemudian dipilih deskriptor yang akan dihitung, kemudian tekan OK.



Gambar III.4. Jendela *Database Viewer*

Tabel III.2. Daftar Deskriptor

No.	Simbol pada software	Simbol umum	Deskriptor
1.	AM_1dipole	μ	Momen dipol
2.	AM1_E	E_{Tot}	Energi total
3.	AM1_Eele	E_{Ele}	Energi elektronik
4.	AM1_HOMO	E_{HOMO}	Energi HOMO
5.	AM1_LUMO	E_{LUMO}	Energi LUMO
6.	AM1_HF	HF	Pembentukan panas
7.	ASA_H		Luas permukaan hidrofobik
8.	Glob	Glob	Globularitas
9.	log P (o/w)	log P	Koefisien partisi
10.	log S	log S	Logaritma kelarutan dalam air
11.	Mr	MR	Refraktivitas molar

12.	VSA	VSA	Daerah permukaan van Der Waals
13.	Vol	Vol	Volume molekular

- Perhitungan Statistik

Variabel terikat dalam penelitian ini adalah nilai afinitas senyawa turunan benzamida terhadap reseptor 2 hasil eksperimen (Tabel III.1), sedangkan variabel bebas yang digunakan berupa 13 deskriptor antara lain AM1_dipole, AM1_E, AM1_Eele, AM1_HF, AM1_HOMO, AM1_LUMO, ASA_H, glob, log P (o/w), log S, mr, vol, VSA. Semua variabel dianalisis menggunakan regresi multilinear metode *Backward* untuk mengetahui urutan variabel bebas yang berpengaruh terhadap aktivitas senyawa. Hasil yang diperoleh berupa persamaan HKSA beserta nilai parameter statistik seperti nilai r dan r². Untuk mendapatkan model dengan nilai r tertinggi, dilakukan eliminasi senyawa yang memiliki deviasi terbesar berdasarkan nilai Z pada hasil komputasi MOE. Struktur senyawa dengan nilai Z > 2 dieliminasi dari perhitungan statistik. Selain parameter statistik, dari hasil perhitungan juga diperoleh nilai tetapan dan nilai koefisien setiap variabel bebas yang terlibat dalam persamaan yang dihasilkan. Nilai koefisien yang diperoleh digunakan untuk menghitung aktivitas secara teoritis.

- Validasi dan Penetapan Model HKSA

Model-model HKSA yang terpilih divalidasi silang dengan menggunakan metode *Leave One Out*, yaitu dengan cara setiap senyawa yang diprediksi dihilangkan dalam perhitungan analisis regresi linear. Persamaan [≥] HKSA yang terpilih adalah persamaan dengan nilai kriteria statistik terbaik dan memenuhi kriteria validasi, yaitu q² ≥ 0,5.

$$q^2 = 1 -$$

- Docking Molekul**

Teknik *docking* memungkinkan untuk mengevaluasi kecocokan obat potensial (ligan) ke situs reseptor. Sifat atom dan gugus fungsi dari struktur obat memungkinkan untuk menyelidiki pengikatan ligan ke situs target. Pendekatan yang digunakan adalah semi *rigid*, yaitu struktur protein dibuat *rigid*, sedangkan ligan fleksibel. Metode pendekatan ini akan memberikan kemungkinan interaksi dalam berbagai konformasi ligan sehingga memungkinkan untuk mendapatkan hasil yang terbaik. Jumlah bentuk konformasi yang memungkinkan sesuai dengan banyaknya ikatan *rotatable* yang ada.

Tahapan prosedur *docking* terdiri dari tiga langkah, yaitu preparasi ligan, preparasi protein dan simulasi *docking*.

- Preparasi Ligan

Ligan dalam bentuk struktur tiga dimensi dan dioptimasi dengan metode *Ab initio* menggunakan program *HyperChem*. Struktur kemudian disimpan dalam format *.mol. File dibuka pada Jendela MOE. Struktur diprotonisasi untuk menambahkan hidrogen dan muatan parsial, dengan *Protonate 3D* (urutan perintah *MOE >> Compute >> Protonate 3D*). File kemudian disimpan dalam database (*.mdb).



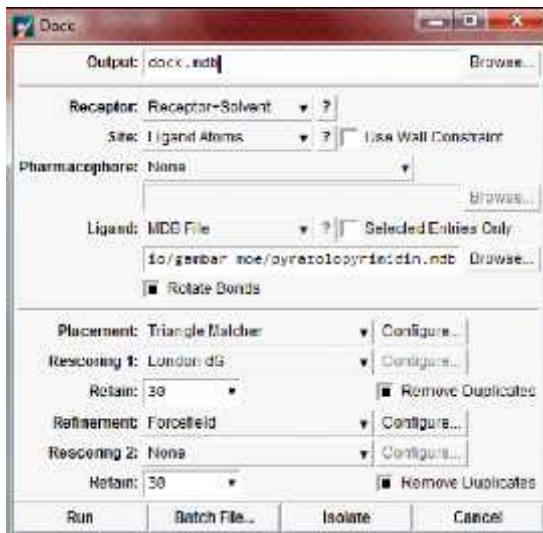
Gambar III.5. Jendela *Protonate 3D*

- Preparasi Protein

Reseptor diunduh dari situs *RSCB.PDB* dengan kode 1A28 dalam format *.pdb/ent. Kemudian molekul air dihapus dari struktur. Selanjutnya protein diprotonisasi dengan langkah yang sama pada preparasi ligan. Untuk memastikan telah dilakukan protonasi, dilakukan pengecekan hingga dipastikan tiap atom pada molekul memiliki muatan yang sesuai.

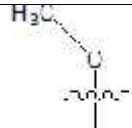
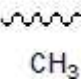
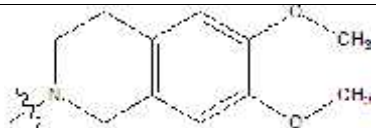
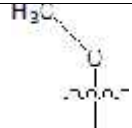
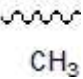
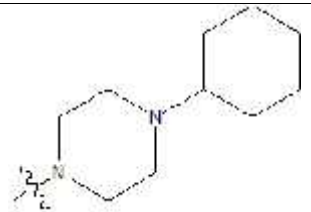
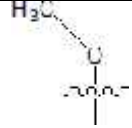
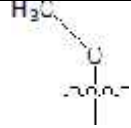
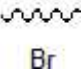
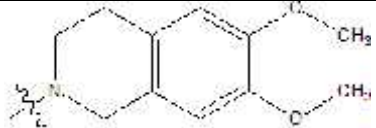
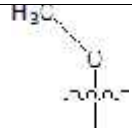
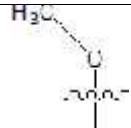
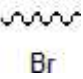
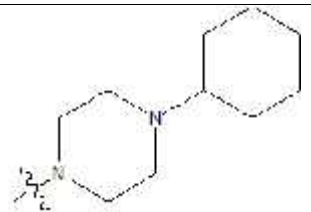
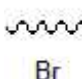
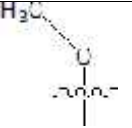
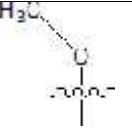
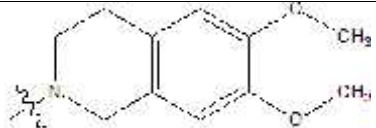
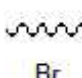
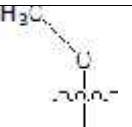
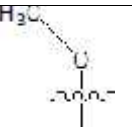
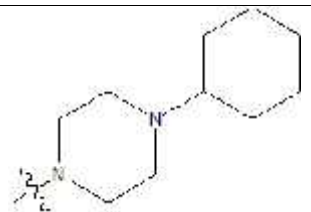
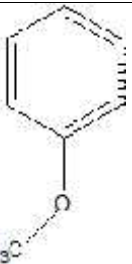
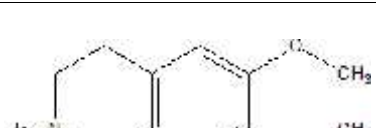
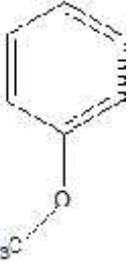
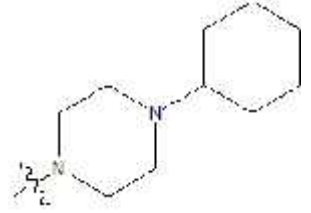
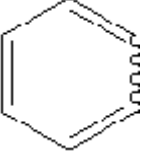
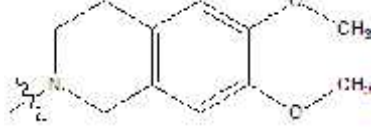
- Simulasi *Docking*

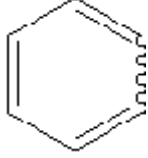
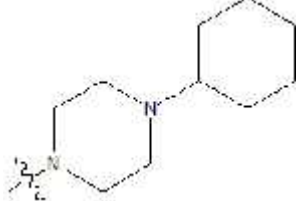
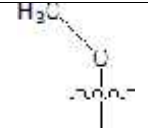
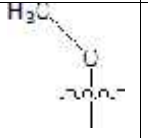
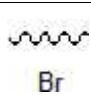
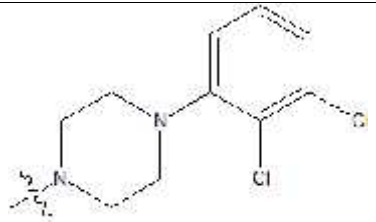
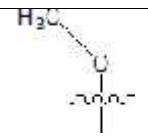
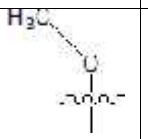
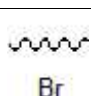
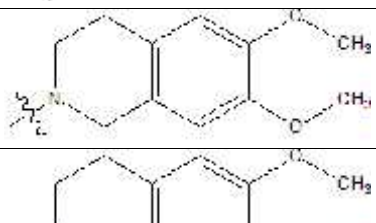
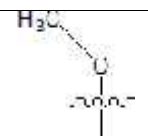
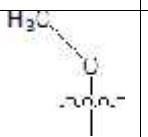
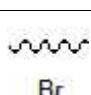
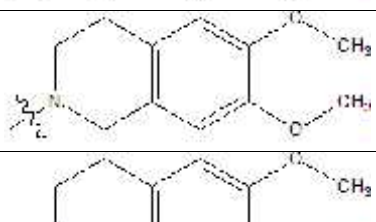
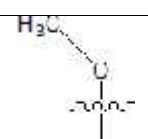
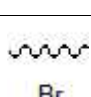
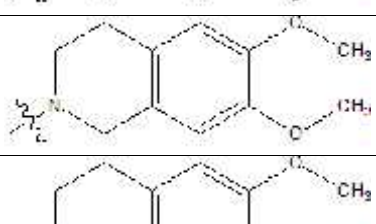
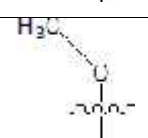
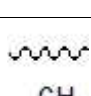
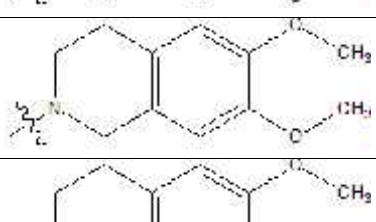
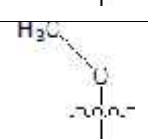
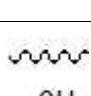
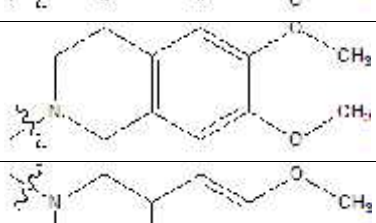
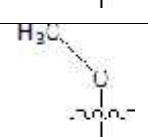
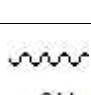
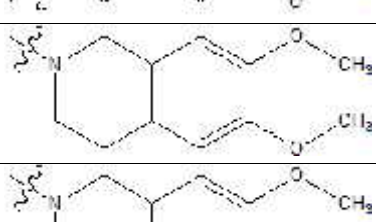
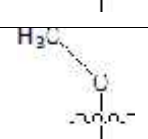
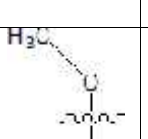

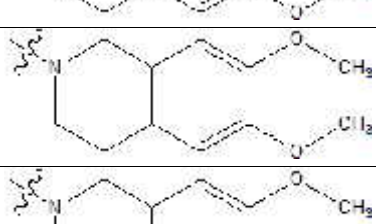
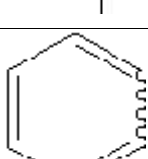
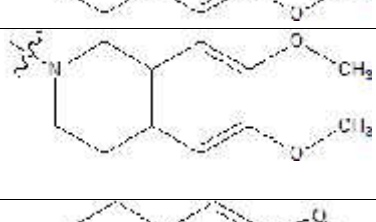
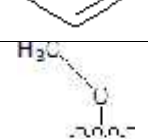
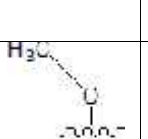

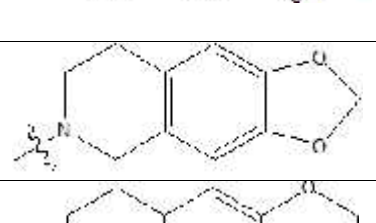
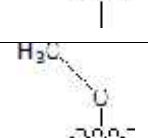
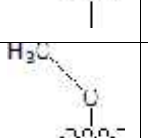
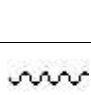
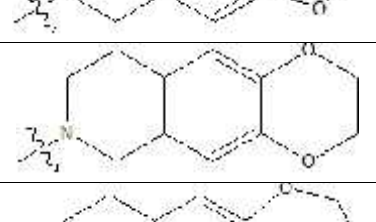
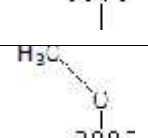
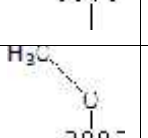

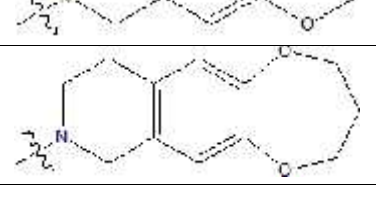
Ligan dan reseptor yang telah diprotonisasi dibuka dalam Jendela MOE. Panel Simulasi *docking* dibuka dengan urutan perintah *MOE >> Compute >> Simulations >> Dock. Receptor* pada panel *Dock* diatur *Receptor+Solvent*, *Site* diatur *Ligand Atoms*. *Ligand* diatur *MDB File* (atau *Selected Atoms* jika Ligan terbuka pada Jendela MOE dan di-select). *Placement* diatur *Triangle Matcher*, *rescoring* ≤ 1 menggunakan *London dG*, dan *refinement* diatur *Force Field*. Posisi *docking* terbaik dipilih berdasarkan nilai *rmsd* (≤ 2) dan nilai *scoring* terendah.



Gambar III.6. Jendela *Dock*

Tabel III.1 Struktur senyawa turunan benzamida dan data afinitas

No	Senyawa	R1	R2	R3	R4	(CH ₂) _n	R5	Afinitas (K _i) (nM)
1.	11a		-	-		3		2.63
2.	11b		-	-		3		26.1
3.	12a			-		3		12.9
4.	12b			-		3		21.2
5.	13a		-			3		50.9
6.	13b		-			3		467
7.	14a		-	-	-	3		21.1
8.	14b		-	-	-	3		16.5
9.	15a		-	-	-	3		4.84

10.	15b		-	-	-	3		26.6
11.	22			-		4		75
12.	23			-		4		8.2
13.	24			-		2		16.4
14.	25		-	-		2		12.4
15.	26		-	-		2		13.3
16.	27		-	-		4		10.3
17.	28		-	-		3		2.6
18.	29			-		3		12.9
19.	30		-	-	-	3		4.8
20.	31			-		4		20.7
21.	32			-		4		21.7
22.	33			-		4		32.6

23.	34			-		4		4616
24.	35			-		4		0.8
25.	36				-	4		26.8
26.	47			-		4		0.68
27.	48			-		4		0.26
28.	49		-	-		4		7.0

HASIL PENELITIAN DAN PEMBAHASAN

- Hasil Penelitian
- Hubungan Kuantitatif Struktur-Aktivitas

Tabel IV.1 Kombinasi deskriptor dengan nilai kriteria statistik dan validasi *leave one out* (q^2)

No.	Jumlah Deskriptor	Deskriptor	R	R ²	F	
1	5	AM1_HOMO, AM1_LUMO, glob, vol, VSA	0.9709	0.9426	26.27	9.11
2	5	AM1_dipole, AM1_HOMO, AM1_LUMO, vol, VSA	0.9619	0.9253	19.80	2.51
3	5	AM1_HF, AM1_HOMO, AM1_LUMO, glob, log P (o/w)	0.9512	0.9047	15.20	6.61
4	5	AM1_dipole, AM1_HOMO, AM1_LUMO, ASA_H, VSA	0.9474	0.8976	14.02	8.71
5	5	AM1_dipole, AM1_HF, AM1_HOMO, AM1_LUMO, log P (o/w)	0.9456	0.8942	13.53	9.91
6	5	AM1_HOMO, AM1_LUMO, mr, vol, VSA	0.9409	0.8853	12.35	0.0
7	5	AM1_dipole, AM1_E, AM1_HF, ASA_H, mr	0.9393	0.8822	11.99	0.0
8	5	AM1_HOMO, AM1_LUMO, log S, vol, VSA	0.9377	0.8793	11.66	0.0
9	5	AM1_HOMO, AM1_LUMO, ASA_H, vol, VSA	0.9369	0.8778	11.49	0.0
10	5	AM1_HF, AM1_HOMO, AM1_LUMO, vol, VSA	0.9369	0.8778	11.49	0.0

- Docking Molekul

Tabel IV.2 Hasil *docking* senyawa turunan benzamida dengan protein 1A28

Senyawa	Entry	Docking (kkal/mol)		Jumlah Ikatan		Jarak Ikatan ()	Residu Asam Amino yang Terikat	Gugus yang Berikatan						
		Score (S)	rmsd_refine											
Ligan Asli		-9.7783	1.0390	Hidrogen	3	2.18	Arg B766							
						2.54	Gln B725							
						3.69	Thr B894							
11b	1	-9.2531	1.2155	-	-	-	-							
12a	28	-8.9309	1.6517	Hidrogen	2	3.25	Gly B722	O dari R2 ^{Acc}						
						3.4	Asn B719	O dari R5 ^{Acc}						
12b	64	-8.1388	1.9985	Hidrogen	3	2.29	Arg B766	O dari R2 ^{Acc}						
						2.75	Gln B725	O dari R2 ^{Acc}						
						3.26	Gln B725	O dari R1 ^{Acc}						
						2.58	Arg B766	O dari R1 ^{Acc}						
14b	86	-10.733	1.8018	Hidrogen	3	2.63	Gln B725	O dari R1 ^{Acc}						
						2.86	Asn B719	N dari R2 ^{Acc}						
						3.07	Leu B721	O dari R1 ^{Acc}						
15b	116	-9.7894	1.8535	Hidrogen	1	3.07	Leu B721	O dari R1 ^{Acc}						
						23	146	-8.0253	1.6875	Hidrogen	3	1.82	Gln B725	O dari R5 ^{Acc}
												2.4	Arg B766	O dari R5 ^{Acc}
												2.89	Asn B719	O dari R2 ^{Acc}

24	171	-8.6228	1.5685	Hidrogen	4	2.93 3.08 2.04 3.18	Asn B719 Asn B719 Gln B725 Arg B766	O dari R5 ^{Acc} O dari R5 ^{Acc} O dari R2 ^{Acc} O dari R2 ^{Acc}
25	220	-6.6855	1.5454	Hidrogen	3	1.65 2.47 2.51	Arg B766 Gln B725 Gln B725	O dari R5 ^{Acc} O dari R5 ^{Acc} O dari R5 ^{Acc}
26	224	-9.2557	1.4695	Hidrogen	3	2.7 2.85 3.42	Arg B766 Gln B725 Gln B725	O dari R5 ^{Acc} O dari R5 ^{Acc} O dari R5 ^{Acc}
27	279	-5.4392	1.3591	Hidrogen	2	2.19 3.82	Asn B719 Thr B894	O dari R5 ^{Acc} O dari R5 ^{Acc}
29	281	-9.58	1.9671	Hidrogen	4	2.18 2.23 3.23 3.96	Arg B766 Gln B725 Gln B725 Thr B894	O dari R5 ^{Acc} O dari R5 ^{Acc} O dari R5 ^{Acc} O dari R2 ^{Acc}
31	311	-10.05	1.9249	Hidrogen	4	2.89 3.09 2.52 3.41	Met B756 Gly B722 Asn B719 Asn B719	NH inti benzamida ^{Don} O dari R2 ^{Acc} O dari R5 ^{Acc} O dari R5 ^{Acc}
32	356	-7.4503	1.2751	Hidrogen	3	1.92 2.79 4.24	Asn B719 Gly B722 Thr B894	O dari R5 ^{Acc} O dari R2 ^{Acc} O dari R5 ^{Acc}
49	372	-9.5763	1.8922	Hidrogen	3	3.4 2.05 2.25	Gln B725 Gln B725 Arg B766	O dari R5 ^{Acc} O dari R5 ^{Acc} O dari R5 ^{Acc}

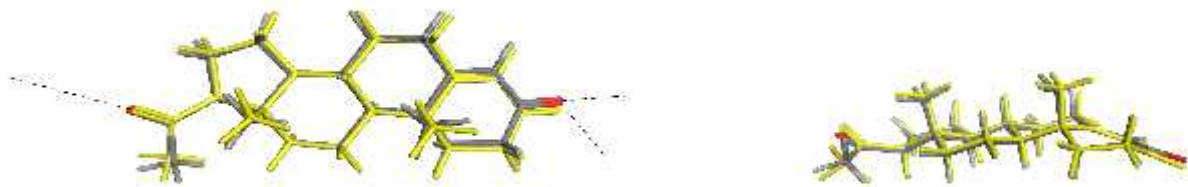
^{Acc} :Akseptor proton, ^{Don} : Donor proton

Tabel IV.3 Hasil *docking* senyawa turunan benzamida dengan protein 2W8Y

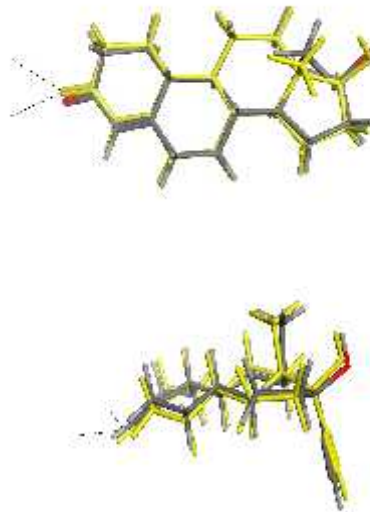
Senyawa	Entry	Docking (kkal/mol)		Jumlah Ikatan		Jarak Ikatan ()	Residu Asam Amino yang Terikat	Gugus yang Berikatan
		Score (S)	rmsd_refine					
Ligan Asli		-9.0830	1.3123	Hidrogen	3	2.3	Arg B766	
11b	6	-7.9726	1.5759	-	-	-	-	-
12a	29	-9.3884	1.0663	Hidrogen	4	2.28 3.76 2.24 4.19	Arg B766 Gln B725 Gln B725 Thr B894	O dari R5 ^{Acc} O dari R5 ^{Acc} O dari R5 ^{Acc} O dari R2 ^{Acc}
12b	76	-7.0942	1.8078	Hidrogen	1	2.65	Leu B718	NH dari inti benzamida ^{Don}
14b	89	-9.4138	1.3795	Hidrogen	2	2.31 2.36	Gln B725 Arg B766	O dari R2 ^{Acc} O dari R2 ^{Acc}
15b	113	-10.3027	1.5416	-	-	-	-	-
23	136	-9.2447	1.9606	Hidrogen	3	2.3 2.44 2.94	Arg B766 Gln B725 Asn B719	O dari R5 ^{Acc} O dari R5 ^{Acc} O dari R2 ^{Acc}
24	166	-9.1801	1.7032	Hidrogen	3	2.2 2.51 3.38	Arg B766 Gln B725 Asn B719	O dari R2 ^{Acc} O dari R2 ^{Acc} O dari R5 ^{Acc}

25	198	-8.5797	1.6156	Hidrogen	1	3.09	Gln B725	O dari R5 ^{Acc}
26	228	-8.3394	1.2479	Hidrogen	1	3.16	Asn B719	O dari R5 ^{Acc}
27	252	-8.7583	1.9804	Hidrogen	3	2.2	Arg B766	O dari R5 ^{Acc}
						2.89	Gln B725	O dari R5 ^{Acc}
						2.92	Asn B719	NH dari inti benzamida ^{Don}
29	284	-8.7904	1.134	Hidrogen	1	2.48	Asn B719	O dari R5 ^{Acc}
31	311	-9.6366	1.5814	Hidrogen	3	2.49	Gln B725	O dari R5 ^{Acc}
						2.5	Arg B766	O dari R5 ^{Acc}
						3.78	Thr B894	O dari R1 ^{Acc}
32	363	-6.1244	1.9602	Hidrogen	2	2.59	Gln B725	O dari R5 ^{Acc}
						2.81	Arg B766	O dari R5 ^{Acc}
49	367	-9.5335	1.5007	Hidrogen	1	2.49	Asn B719	O dari R5 ^{Acc}

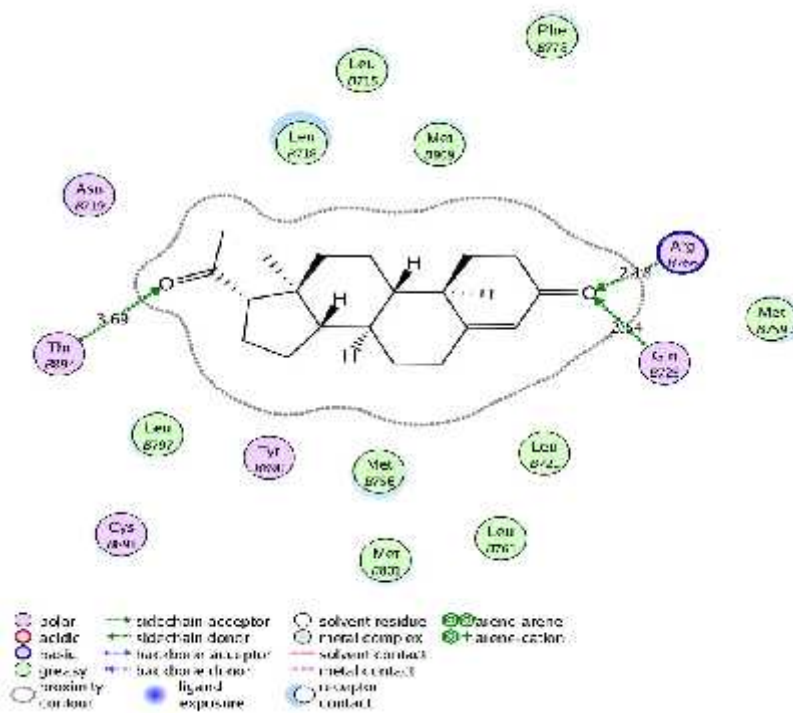
^{Acc} : Akseptor proton, ^{Don} : Donor proton

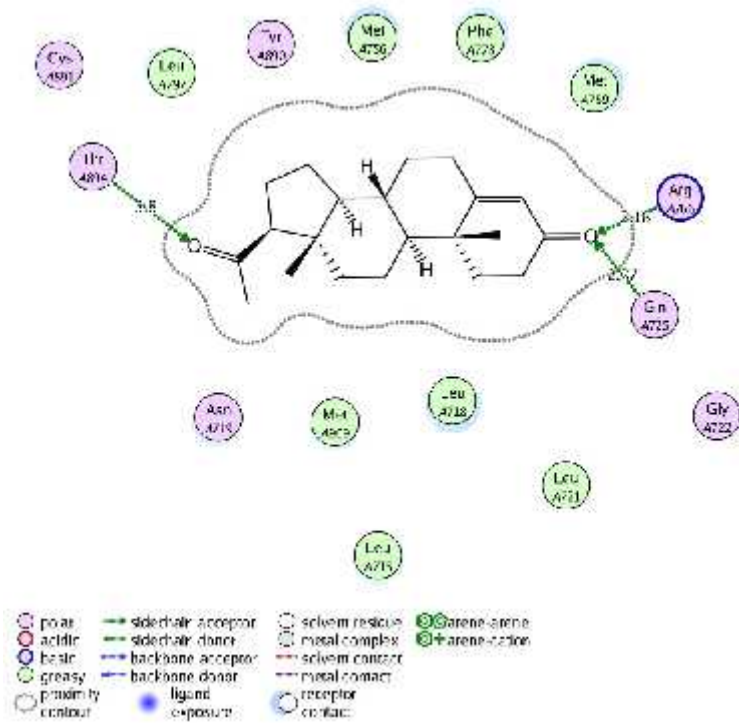


Gambar IV.1 Posisi ligan asli protein 1A28

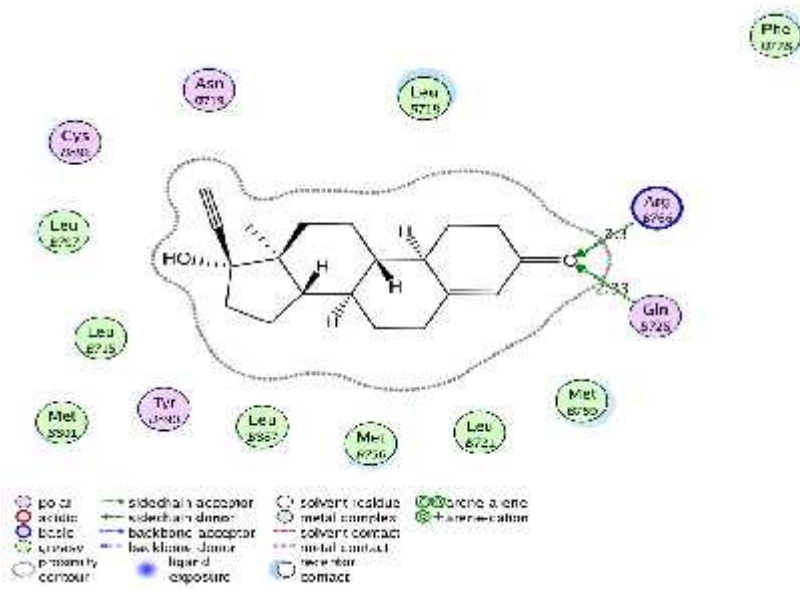


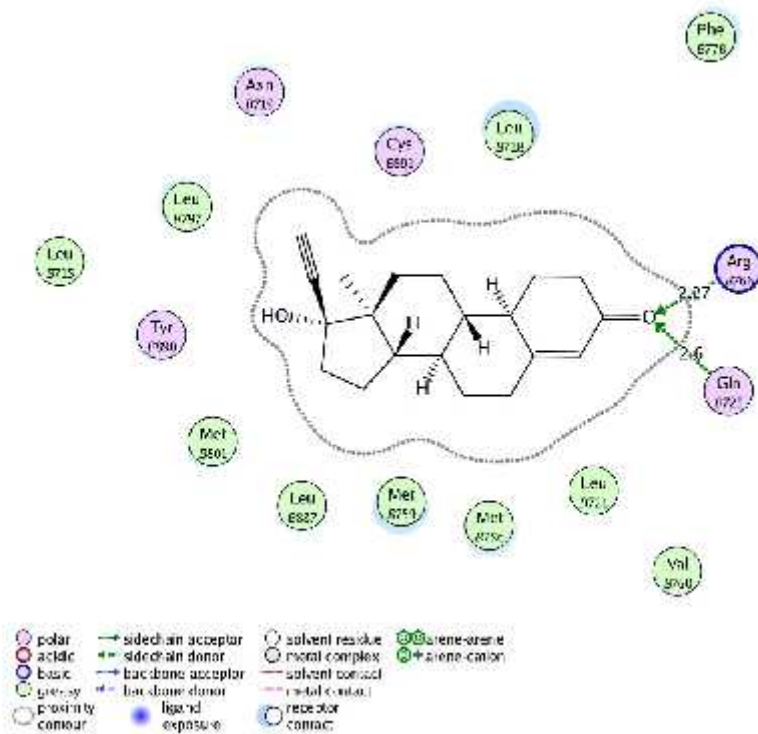
Gambar IV.2 Posisi ligan asli protein 2W8Y





Gambar IV.2 Interaksi ligan asli protein 1A28





Gambar IV.4 Interaksi ligan asli protein 2W8Y

- **Pembahasan**

Kanker adalah kelompok penyakit yang menyebabkan sel-sel dalam tubuh berubah, ditandai dengan kelainan siklus sel, yaitu pembelahan yang tidak terkendali. Pada tahun 2013 dilaporkan perkiraan jumlah kasus baru kanker payudara di Amerika Serikat yang menyerang pria sebanyak 2.240 kasus dan pada wanita 232.340 kasus, sedangkan kasus kanker payudara yang menyebabkan kematian pada pria sebanyak 410 dan wanita 39.620 kasus. Kanker payudara berada di peringkat pertama sebagai perkiraan kasus baru terbanyak yang terjadi pada wanita, yaitu 29%, dan berada di peringkat kedua sebagai kasus kanker penyebab kematian pada wanita, yaitu 15%.

Pada tingkat gen, kanker secara konstan memodifikasi sifat genetik sel baik secara internal maupun pengaruh eksternal (misalnya lingkungan). Proses ini ditetapkan sebagai penemuan dari gen termutasi dengan pengaruh tambahan fungsi gen (dikenal dengan onkogen) dan beberapa dengan kehilangan fungsi (dikenal dengan tumor supresor gen). Tumorigenesis adalah proses dengan tahap yang panjang, dengan setiap tahap mencerminkan perubahan gen yang meningkatkan transformasi dari sel normal ke sel tumor.

Kanker umumnya diberi nama sesuai dengan jenis jaringan tempat munculnya. Sebagai contoh, istilah karsinoma mengacu pada tumor jaringan epitel seperti selaput lendir dan kelenjar (termasuk kanker payudara, ovarium, dan paru-

paru). Kanker payudara umumnya didiagnosis berdasarkan ada atau tidak adanya tiga reseptor: reseptor estrogen (ER), reseptor progesteron (PR), reseptor faktor pertumbuhan epidermal manusia-2 (HER-2).

Estrogen, terutama estradiol 17 (E2), sangat penting untuk pertumbuhan dan diferensiasi sel-sel epitel payudara secara normal. Umumnya estrogen mengatur respon seluler melalui ikatan dengan dua reseptor kognitif, ER dan ER, yang merupakan ligan pengatur transkripsi dengan berbagai fungsi fisiologis. Estrogen juga dikonversi menjadi metabolit estrogen oksidatif melalui sejumlah enzim sitokrom P450 dalam sel payudara. Namun, kelebihan estrogen merupakan faktor etiologi utama pada perkembangan kanker payudara. Efek karsinogenik dari E2 disebabkan oleh perubahan jalur genomik inti yang dimediasi oleh ER dan ER, jalur nongenomik dimediasi oleh membran plasma yang terhubung reseptor estrogen dan efek genotoksik yang dihasilkan oleh kerusakan oksidatif dari metabolit estrogen. Kemudian pada reseptor progesteron, ada dua bentuk, yaitu PR-A dan PR-B. Kedua reseptor ini termasuk faktor transkripsi inti yang teraktivasi ligan yang memediasi aksi progesteron. Adanya reseptor ini pada tumor payudara digunakan untuk memprediksi fungsi dari reseptor estrogen, dan juga untuk memprediksi kemungkinan adanya respon pada terapi endokrin. Telah terbukti bahwa pasien dengan kadar PR-A yang tinggi memiliki tingkat ketahanan tubuh yang rendah terhadap penyakit ini dan PR-B terlibat dalam stimulasi insulin dengan migrasi sel pada sel kanker payudara. Progesteron dan reseptor progesteron sangat penting dalam peningkatan estrogen pada kanker payudara. Ekspresi yang berlebihan (*over-expression*) dan/atau penguatan gen (*gene amplification*) dari HER-2 adalah tanda patologis yang penting pada pasien kanker payudara yang positif terhadap reseptor estrogen. Ekspresi yang berlebihan dari HER-2 terjadi akibat aktivitas selular yang tidak normal.

Reseptor sigma adalah protein reseptor obat yang unik yang terdapat dalam sistem saraf pusat serta dalam berbagai jaringan perifer. Reseptor σ_2 merupakan target penting bagi pengembangan molekuler dalam onkologi karena kemampuannya yang sepuluh kali lipat dalam perkembangbiakan sel tumor yang dibandingkan dengan sel tumor jinak dan juga karena pengamatan bahwa agonis reseptor σ_2 mampu membunuh sel-sel tumor melalui mekanisme apoptosis dan non-apoptosis. Reseptor σ_2 berhubungan dengan tumor dan jaringan yang berkembang biak.

Komputer menjadi komponen yang penting dalam kehidupan modern. Teknologi canggih mempercepat perkembangan baru di berbagai disiplin ilmu ilmiah. Salah satu contohnya adalah kimia komputasi. Penjelasan struktur dalam sintesis senyawa lebih efisien, dengan pendekatan komputasi untuk merancang molekul yang berinteraksi dengan cara tertentu dengan molekul lain, terutama dalam desain obat, dan untuk mengidentifikasi pola hubungan antara

struktur kimia dan aktivitasnya. Hubungan kuantitatif struktur-aktivitas (HKSA) adalah metode komputasi atau model matematik untuk menemukan korelasi signifikan secara statistik antara struktur dan fungsi menggunakan teknik kemometrik. Dari segi desain obat, struktur di sini merujuk pada sifat atau deskripsi dari molekul, substituen atau interaksi medan energi, fungsi yang sesuai dengan suatu eksperimental biologi/biokimia seperti afinitas ikatan, aktivitas, toksisitas atau tingkat konstanta.

Deskriptor pada program MOE digunakan untuk mengembangkan model HKSA untuk prediksi aktivitas senyawa turunan benzamida sebagai agonis reseptor α_2 . Deskriptor MOE mampu menghitung deskriptor 2 dan 3 dimensi yang tergantung pada konformasi molekul. Kajian HKSA ini menggunakan 28 senyawa. Pemilihan senyawa-senyawa ini didasarkan pada kemiripan kerangka struktur dari senyawa tersebut. Nilai afinitas terhadap reseptor α_2 diperoleh dari hasil penelitian Abate *et al* (2011) dan Robert *et al* (2013). Nilai deskriptor untuk setiap senyawa dihitung menggunakan program MOE.

Hasil perhitungan deskriptor ini kemudian dianalisis secara statistik menggunakan analisis regresi multilinier dengan bantuan perangkat lunak SPSS 17. Deskriptor-deskriptor tersebut diregresikan terhadap nilai afinitas pada reseptor α_2 sebagai variabel terikat. Deskriptor diposisikan sebagai variabel bebas dengan kombinasi 5 deskriptor. Hasil regresi multilinier kemudian disusun dan diurutkan berdasarkan nilai parameter statistik. Sepuluh model persamaan terpilih kemudian divalidasi dengan menggunakan metode *Leave One Out*, yaitu n buah data, sebuah data dikeluarkan dari *fitting*. Analisis regresi diulangi untuk data sebanyak $(n-1)$ data dengan menggunakan deskriptor yang masuk pada model persamaan yang akan diuji. Persamaan regresi multilinier yang diperoleh digunakan untuk memprediksi aktivitas agonis reseptor α_2 dari data yang dikeluarkan. Proses berulang sampai semua data selesai dihitung. Nilai q^2 digunakan untuk menentukan model persamaan terbaik. Model persamaan harus memenuhi kriteria nilai $q^2 \geq 0,5$. Sepuluh model persamaan terpilih beserta nilai q^2 ditunjukkan pada tabel IV.4.

Nilai q^2 , dalam hal ini, adalah selisih kesalahan bahwa model tidak sesuai. Nilai-nilai q^2 yang lebih dekat ke 1 menunjukkan kesalahan lebih kecil, dan nilai-nilai yang lebih kecil dari 1 menunjukkan kesalahan yang lebih besar. Model HKSA yang dipilih adalah model dengan nilai kriteria statistik terbaik. Tabel IV.4 menunjukkan nilai-nilai kriteria statistik dari model persamaan yang memiliki nilai koefisien regresi r^2 dan validasi silang *Leave One Out* q^2 . Kedua nilai kriteria model-model persamaan ini cukup berbeda sehingga mudah untuk menentukan persamaan terbaik jika hanya menggunakan kedua nilai kriteria ini.

Dari sepuluh kombinasi lima deskriptor yang digunakan, yang memiliki nilai r^2 dan q^2 paling tinggi adalah persamaan pertama (Tabel IV.2) dengan deskriptor-deskriptor antara lain AM1_HOMO, AM1_LUMO, glob, vol, dan VSA. Adapun persamaan yang diperoleh yaitu, $\log 1/K_i = -13.223 - 1.062 \text{ AM1_HOMO} + 0.231 \text{ AM1_LUMO} - 15.265 \text{ glob} - 0.026 \text{ vol} + 0.030 \text{ VSA}$. Regresi multilinier terbaik yang berisi lima deskriptor ini menghasilkan korelasi yang baik dengan hasil eksperimen ($r^2 = 0.94$) dan validasi silang LOO q^2 0,61.

Nilai r (koefisien korelasi) menunjukkan tingkat hubungan antara data aktivitas biologis pengamatan percobaan dengan data hasil perhitungan berdasarkan persamaan yang diperoleh dari analisis regresi. Koefisien korelasi adalah angka yang bervariasi mulai dari 0 sampai 1. Semakin tinggi nilainya semakin baik hubungannya. Untuk mendapatkan nilai koefisien korelasi yang dapat diterima tergantung jumlah data penelitian. Semakin banyak jumlah data penelitian semakin rendah koefisien korelasi atau nilai r yang dapat diterima. Dalam penelitian hubungan struktur-aktivitas dicoba dicapai suatu nilai r yang lebih besar dari 0,9.

Nilai r^2 menunjukkan % aktivitas biologis yang dapat dijelaskan hubungannya dengan parameter sifat kimia fisika yang digunakan. Nilai F menunjukkan kemaknaan hubungan. Makin besar nilai F , makin besar derajat kemaknaan hubungan. Nilai F adalah indikator bilangan untuk menunjukkan bahwa hubungan, yang dinyatakan oleh persamaan yang didapat, adalah benar atau merupakan kejadian kebetulan. Semakin tinggi nilai F semakin kecil kemungkinan hubungan tersebut adalah karena kebetulan. Nilai S (simpangan baku) menunjukkan nilai variasi kesalahan dalam percobaan.

Alasan untuk menggunakan logaritma pada respon biologis mempunyai dasar termodinamik. Energi bebas yang diberikan oleh suatu molekul, dianggap merupakan jumlah energi bebas dari gugus-gugus substituen. Persamaan yang menggunakan logaritma termasuk energi bebas karena tetapan keseimbangan adalah logaritma yang berhubungan dengan energi bebas.

Dari model persamaan yang terpilih, afinitas senyawa turunan benzamida akan meningkat dengan penambahan substituen-substituen yang memiliki energi HOMO yang rendah, energi LUMO yang tinggi, globularitas yang rendah/kecil, volume molekular yang rendah, dan luas permukaan van der waals yang tinggi.

Selanjutnya dilakukan *docking* molekular, molekul target harus dipreparasi terlebih dahulu. Molekul yang telah didownload dari situs rscb ditampilkan pada jendela MOE. Agar tidak mengganggu proses *docking*, molekul-molekul air sebaiknya dihilangkan sehingga dipastikan yang berinteraksi adalah molekul uji dan molekul target. Selanjutnya

dilakukan protonasi untuk menambahkan muatan atom dan hidrogen pada molekul. Struktur protein yang digunakan adalah struktur 1A28 dan 2W8Y. Digunakan protein 1A28 dan 2W8Y karena termasuk protein pada reseptor progesteron yang secara fisiologis, efek senyawa yang dapat memicu terjadinya pertumbuhan sel secara abnormal (kanker) pada reseptor yang berhubungan dengan kanker payudara, yakni reseptor progesteron. Tahap selanjutnya adalah tahap *docking* senyawa-senyawa uji. Pada proses *docking* senyawa uji ini digunakan perangkat lunak MOE versi 2009.

Proses simulasi *docking* senyawa-senyawa uji diawali dengan mengidentifikasi kantung atau sisi pengikatan dari enzim tersebut. Selanjutnya dengan fasilitas *simulation dock*, senyawa-senyawa uji sebagai ligan di-*docking*-kan pada reseptor, serta diarahkan pada sisi pengikatan yang sebelumnya telah diidentifikasi. Proses *docking* menggunakan ligan fleksibel dan reseptor *rigid* menggunakan metode *scoring London dG*. Validasi metode *docking* dilakukan dengan *redocking* native ligan pada binding site. Didapatkan nilai rmsd (*root mean square deviation*) lebih kecil dari 2 yang berarti metode tersebut memiliki validitas yang tinggi, artinya posisi ligan *copy* mirip dengan posisi ligan asli. Tabel IV.2 dan IV.3 menunjukkan bahwa senyawa turunan benzamida dapat mengikat Arg766, Gln725, dan Thr894 sebagaimana interaksi yang mirip dengan ligan asli dari protein 1A28 dan 2W8Y. Model pengikatan dapat dilihat pada lampiran 7 dan 9. Interaksi yang terjadi antara senyawa-senyawa turunan benzamida dengan reseptor ditunjukkan dengan nilai *docking score* (S), makin rendah nilai S maka interaksi antara keduanya makin kuat. Dari 14 senyawa turunan benzamida yang digunakan, senyawa 49 memiliki interaksi yang paling baik, dengan nilai *score* (S) masing-masing pada protein 1A28 dan protein 2W8Y adalah -9.5763 dan -9.5335, serta nilai afinitias (K_i) 7.0 nM dapat mengikat asam amino Arg766 dan Gln725 sebagaimana interaksi yang mirip dengan ligan asli baik pada protein 1A28 maupun pada protein 2W8Y.

KESIMPULAN

- ***Kesimpulan***

- Hubungan kuantitatif struktur-aktivitas senyawa turunan benzamida sebagai agonis reseptor α_2 menunjukkan bahwa lima deskriptor yang berpengaruh terhadap aktivitas senyawa, sebagaimana ditunjukkan dengan persamaan HKSA terbaik:

$$\text{Log } 1/K_i = -13.223 - 1.062 \text{ AM1_HOMO} + 0.231 \text{ AM1_LUMO} - 15.265 \text{ glob} - 0.026 \text{ vol} + 0.030 \text{ VSA}$$

Asam amino yang penting dalam interaksi protein 1A28 dan 2W8Y dengan senyawa turunan benzamida adalah Gly722, Asn719, Arg766, Gln725, Leu721, Leu718, Thr894 dan Met756.

- Senyawa turunan benzamida berinteraksi dengan baik dengan protein 1A28 dan 2W8Y
- Ajaran Islam telah menjelaskan secara umum perlunya pengobatan. Oleh karena itu dilakukan studi tentang senyawa yang dapat digunakan untuk pengobatan, dalam hal ini kanker payudara dengan menggunakan studi Hubungan Kuantitatif Struktur-Aktivitas tentang keteraturan pola struktur senyawa berdasarkan prinsip keteraturan sebagaimana telah dijelaskan dalam QS. Yunus/10: 5–6 dan QS. Yasin/36: 38–40.

- ***Implikasi Penelitian***

- Penelitian ini memberikan beberapa implikasi baik terhadap pihak institusi maupun pemerintah dan diharapkan pemerintah mampu untuk mengembangkan program kerja dalam hal penyuluhan tentang bahaya kanker, dalam hal ini kanker payudara, serta cara-cara mencegah terjadinya kanker pada masyarakat.
- Diharapkan penelitian ini dapat dilanjutkan dengan mendesain senyawa turunan benzamida yang baru dengan aktivitas yang lebih baik.

- Abate, Carmen; Ferorelli, Savina; Contino, Marialessandra; Marottoli, Roberta; Colabufo, Nicola Antonio; Perrone, Roberto; Berardi, Francesco. "Arylamides hybrids of two high-affinity α_2 receptor ligands as tools for the development of PET radiotracers". *European Journal of Medicinal Chemistry* 46, no. 9 (2011): h. 4733–4741.
- Abate, Carmen; Selivanova, Svetlana V.; Muller, Adrienne; Kramer, Stefanie D.; Schibli, Roger; Marottoli, Roberta; Perrone, Roberto; Berardi, Francesco; Niso, Mauro; Ametamey, Simon M. "Development of 3,4-dihydroisoquinoline-1(2H)-one derivatives for the Positron Emission Tomography (PET) imaging of α_2 receptors". *European Journal of Medicinal Chemistry* 69 (2013): h. 920–930.
- American Cancer Society. *Breast Cancer Facts and Figures 2013-2014*. Atlanta: American Cancer Society Inc., 2013.
- Banister, Samuel D.; Rendina, Louis M.; Kassiou, Michael. "7-azabicyclo[2.2.1]heptane as a scaffold for the development of selective sigma-2 (α_2) receptor ligands". *Bioorganic & Medicinal Chemistry Letter* 22, no. 12 (2012): h. 4059–4063.
- Boyd, Norman F.; Martin, Lisa J.; Bronskill, Michael; Yaffe, Martin J.; Duric, Neb; Minkin, Salomon. "Breast Tissue Composition and Susceptibility to Breast Cancer". *Journal of National Cancer Institution Review* 102, no. 16 (2010): h. 1224–1237.
- Chen, Jin-Qiang, and Russo, Jose. "ER-Negative and Triple Negative Breast Cancer: Molecular Features and Potential Therapeutic Approaches". *Biochimica Biophysica Acta* 1796, no. 2 (2009): h. 162–175.
- Crawford, Keith W.; Bowen, Wayne D. Sigma-2 Receptor Agonists Activate a Novel Apoptotic Pathway and Potentiate Antineoplastic Drugs in Breast Tumor Cell Lines. *Cancer Research* 62, no. 1 (2002): h. 313–322.
- Crawford, Keith W.; Coop, Andrew; Bowen, Wayne D. " α_2 Receptors regulate changes in sphingolipid levels in breast tumor cells". *European Journal of Pharmacology* 443, no. 1–3 (2002): h. 207–209.
- Departemen Agama RI. *Alquran dan Terjemahannya*. Semarang: PT. Karya Toha Putra, 2005.
- 81
- Fan, Kuo-Hsien; Lever, John R.; Lever, Susan Z. "Effect of structural modification in the amine portion of substituted aminobutyl-benzamides as ligands for binding α_1 and α_2 receptors". *Bioorganic & Medicinal Chemistry* 19, no. 6 (2011): h. 1852–1859.
- Gao H.; Nishida J.; Saito S.; Kawabata J., "Effect of 5,6,7-Trihydroxyflavones on Tyrosinase". *Molecules* 12, no. 1 (2007): h. 90.
- Gitto, Rosaria; Luca, Laura De; Ferro, Stefania; Scala, Angela; Ronsisvalle, Simone; Parenti, Carmela; Prezzavento, Orazio; Buemi, Maria Rosa; Chimirri, Alba. "From NMDA receptor antagonists to discovery of selective α_2 receptor ligands". *Bioorganic & Medicinal Chemistry* 22, no. 1 (2014): h. 393–397.
- Al-Jauziyah, Ibnu Qayyim. *Praktek Kedokteran Nabi*. Jogjakarta: Hikam Pustaka, 2002.
- Kubinyi, Hugo. *QSAR: Hansch Analysis and Related Approaches*. Weinheim; New York; Basel; Cambridge; Tokyo: VCH, 1993.
- Lindsey, J. S. "A retrospective on automation of laboratory synthetic chemistry". *Chemometric Intelligent Laboratory System* 17, no. 1 (1992): h. 15–45.
- Lo, Pang-Kuo, and Sukumar, Saraswati. "Epigenomics and breast cancer". *Pharmacogenomics* 9, no. 12 (2008): h. 1879–1902.
- Mach, Robert H.; Zeng, Chenbo; Hawkins, William G. "The α_2 Receptor: A Novel Protein for the Imaging and Treatment of Cancer". *Journal of Medicinal Chemistry* 56, no. 16 (2013): h. 7137–7160.
- Marrazzo, Agostino; Cobos, Enrique J.; Parenti, Carmela; Arico, Giuseppina; Marrazzo, Giuseppina; Ronsisvalle, Simone; Pasquinucci, Lorella; Prezzavento, Orazio; Colabufo, Nicola A.; Contino, Marialessandra; Gonzales, Luis G.; Scoto, Giovanna M.; Ronsisvalle, Giuseppe. "Novel Potent and Selective Ligands: Evaluation of Their Agonist and Antagonist Properties". *Journal of Medicinal Chemistry* 54, no. 10 (2011): h. 3669–3673.
- Mohan, V. "Docking: Successes and Challenges". *Current Pharmacist Design* 11, no. 3 (2005): h. 323–333.

- Montazeri, Ali. "Health-related quality of life in breast cancer patients: A bibliographic review of the literature from 1974 to 2007". *Journal of Experimental & Clinical Cancer Research* 27, no. 32 (2008): h. 1–31.
- Muslimin, Ashabul. *Hadith Bukhari Terjemahan*. <http://www.indoquran.com/id/> (Desember 2011).
- Patrick, Graham L. *An Introduction to Medicinal Chemistry* Fourth Edition. New York: Oxford University Press Inc., 2009.
- Shihab, M. Quraish. *Tafsir Al Mishbah Pesan, Kesan, dan Keserasian al-Qur'an*, vol. 3. Jakarta: Lentera Hati, 2002.
- *Tafsir Al Mishbah Pesan, Kesan, dan Keserasian al-Qur'an*, vol. 5. Jakarta: Lentera Hati, 2002.
- *Tafsir Al Mishbah Pesan, Kesan, dan Keserasian al-Qur'an*, vol. 11. Jakarta: Lentera Hati, 2002.
- Siegel, Rebecca; Naishadham, Deepa; Jemal, Ahmedin. "Cancer Statistics, 2013". *Canadian Cancer Journal of Clinical* 63, no. 1 (2013): h. 11–30.
- Sudiana, I Ketut. *Patobiologi Molekuler Kanker*. Jakarta: Salemba Medika, 2008.
- Hidayat, Dani. *Tafsir Jalalain*. Tasikmalaya: Pesantren Persatuan Islam 91, 2010
- Thurston, David E. *Chemistry and Pharmacology of Anticancer Drugs*. New York: CRC Press, 2007.
- Tjindarbumi, Didid; Mangunkusumo, Rukmini. "Cancer in Indonesia, Present and Future". *Japanese Journal of Clinical Oncology* 32, no. 1 (2002): h. 17–21.
- Tu, Zhude; Xu, Jinbin; Jones, Lynne A.; Li, Shihong; Dumstroff, Craig; Vangveravong, Suwanna; Chen, Delphine L.; Wheeler, Kenneth T.; Welch, Michael J.; Mach, Robert H. "Fluorine-18-Labeled Benzamide Analogues for Imaging the α_2 Receptor Status of Solid Tumors with Positron Emission Tomography". *Journal of Medicinal Chemistry* 50, no. 14 (2007): h. 3194–3204.
- Vangveravong, Suwanna; Xu, Jinbin; Zeng, Chenbo; Mach, Robert H. "Synthesis of N-substituted 9-azabicyclo[3.3.1]nonan-3-yl carbamate analogs as α_2 receptor ligands". *Bioorganic & Medicinal Chemistry* 14, no. 20 (2006): h. 6988–6997.
- Verma, Jitender; Khedkar, Vijay M.; Coutinho, Evans C. "3D-QSAR in Drug Design- A Review". *Current Topics in Medicinal Chemistry* 10, no. 1 (2010): h. 95–115.
- Winkler, David A. "The role of quantitative structure-activity relationships (QSAR) in biomolecular discovery". *Briefings in Bioinformatics* 3, no. 1 (2002): h. 73–86.
- World Health Organization. *Guidelines for the early detection and screening of breast cancer*. Eastern Mediterranean: EMRO Technical Publications Series 30, 2006.
- *Guidelines for management of breast cancer*. Eastern Mediterranean: EMRO Technical Publications Series 31, 2006.
- Xu, Jinbin; Tu, Zhude; Jones, Lynne A.; Vangveravong, Suwanna; Wheeler, Kenneth T.; Mach, Robert H. "[^3H]N-[4-(3,4-dihydro-6,7-dimethoxyisoquinolin-2(1H)-yl)butyl]-2-methoxy-5-methylbenzamide: A novel α_2 -receptor probe". *European Journal of Pharmacology* 525, no. 1–3 (2005): h. 8–17.
- Xu, Rong; Lever, John R.; Lever, Susan Z. "Synthesis and in vitro evaluation of tetrahydroisoquinolinyl benzamides as ligands for receptors". *Bioorganic & Medicinal Chemistry Letter* 17, no. 9 (Februari 2007): h. 2594–2597.

Lampiran 1. Skema Kerja

Validasi *Leave One Out* (q^2)

Digabung file dalam 1 *database* di *MOE*

Optimasi Geometri di *Hyperchem*

Validasi nilai *Z*

Perhitungan statistik

Pembacaan deskriptor

Menggambar di *Hyperchem*

Lampiran 3. Nilai aktivitas senyawa turunan benzamida

Senyawa	Afinitas (K_i) (nM)	Log $1/K_i$
11a	2.63	-0.4199
11b	26.1	-1.4166
12a	12.9	-1.1105
12b	21.2	-1.3263
13a	50.9	-1.7067
13b	467	-2.6693
14a	21.1	-1.3242
14b	16.5	-1.2174
15a	4.84	-0.6848
15b	26.6	-1.4248
22	75	-1.8750
23	8.2	-0.9138
24	16.4	-1.2148
25	12.4	-1.0934
26	13.3	-1.1238
27	10.3	-1.0128

28	2.6	-0.4149
29	12.9	-1.1105
30	4.8	-0.6812
31	20.7	-1.3159
32	21.7	-1.3364
33	32.6	-1.5132
34	4616	-3.6642
35	0.8	0.0969
36	26.8	-1.4281
47	0.68	0.1674
48	0.26	0.5850
49	7.0	-0.8450

Lampiran 4. Hasil perhitungan nilai Z menggunakan program MOE

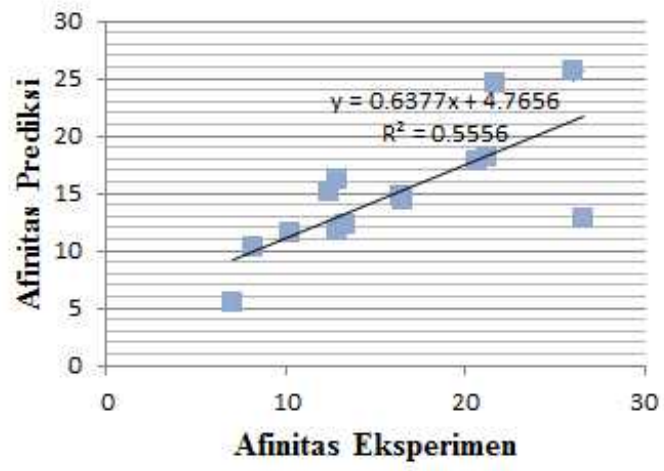
Senyawa	Log 1/K _i	Nilai Z
11a	-0.4199	0.9777024
11b	-1.4166	0.2692359
12a	-1.1105	0.0120606
12b	-1.3263	0.2855898
13a	-1.7067	0.7106696
13b	-2.6693001	1.9243109
14a	-1.3242	0.5226398
14b	-1.2174	0.3822268
15a	-0.68480003	0.6953868
15b	-1.4248	0.2537324
22	-1.875	0.9147525
23	-0.9138	0.194035
24	-1.2148	0.0085038
25	-1.0934	0.382391
26	-1.1238	0.2352603
27	-1.0128	0.1938357
28	-0.4149	1.0303457
29	-1.1105	0.0567441
30	-0.68120003	0.7329319
31	-1.3159	0.1132437
32	-1.3364	0.2784638
33	-1.5132	0.6498041
34	-3.6642001	3.1047502
35	0.096900001	1.5784191
36	-1.4281	0.4180998
47	0.1674	1.5604638

48	0.58499998	1.9152632
49	-0.84500003	0.2782973

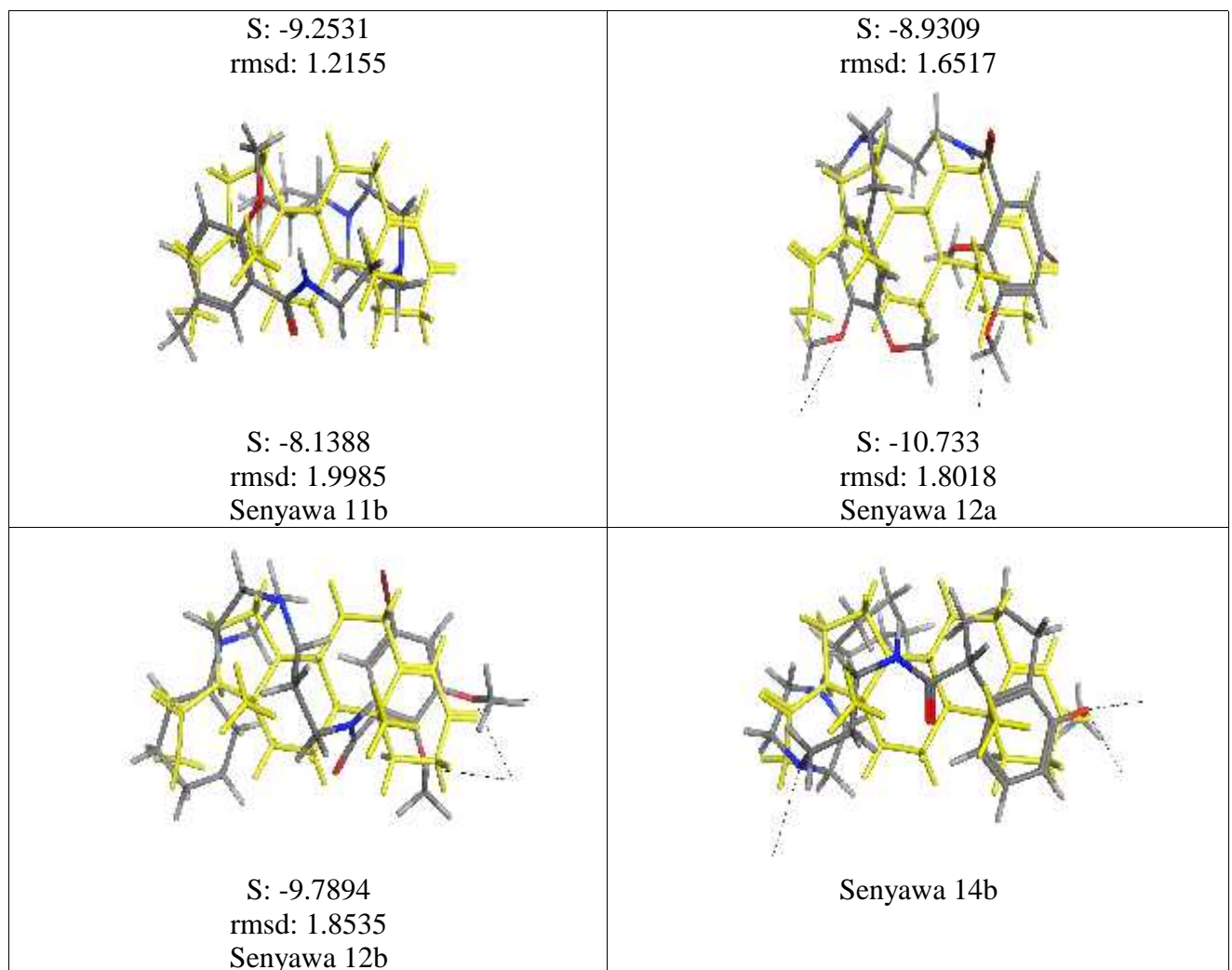
Lampiran 5. Nilai perbandingan afinitas eksperimen dan afinitas prediksi

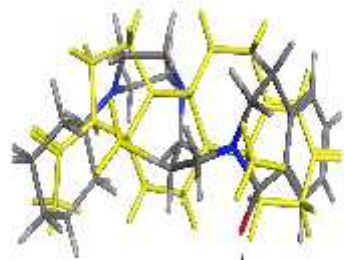
Senyawa	Afinitas (Eksperimen)	Afinitas (Prediksi)
11b	26.1	25.70396
12a	12.9	11.74898
12b	21.2	18.19701
14b	16.5	14.4544
15b	26.6	12.8825
23	8.2	10.23293
24	16.4	14.79108
25	12.4	15.13561
26	13.3	12.30269
27	10.3	11.48154
28	12.9	16.2181
31	20.7	17.78279
32	21.7	24.54709
49	7.0	5.495409

Lampiran 6. Kurva hubungan afinitas eksperimen dan afinitas prediksi model persamaan terbaik



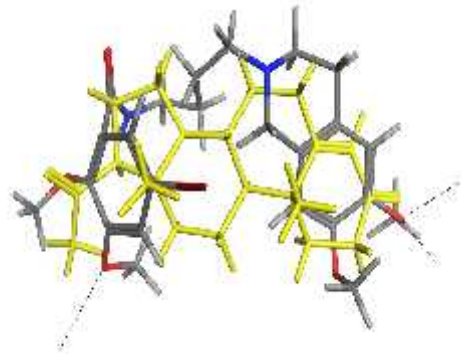
Lampiran 8. Posisi Senyawa Turunan Benzamida pada Protein 1A28





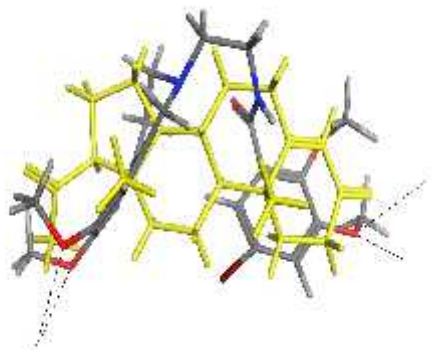
Senyawa 15b

S: -8.0253
rmsd: 1.6875



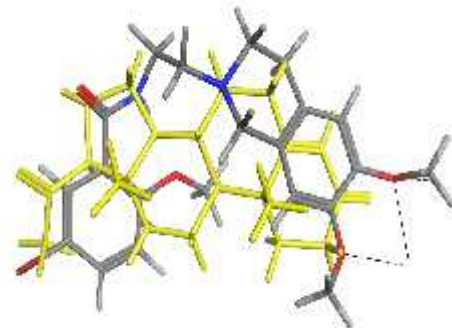
Senyawa23

S: -8.6228
rmsd: 1.5685



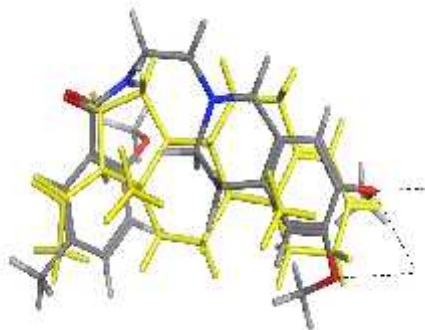
S: -9.2557
rmsd: 1.4695
Senyawa 24

S: -6.6855
rmsd: 1.5454

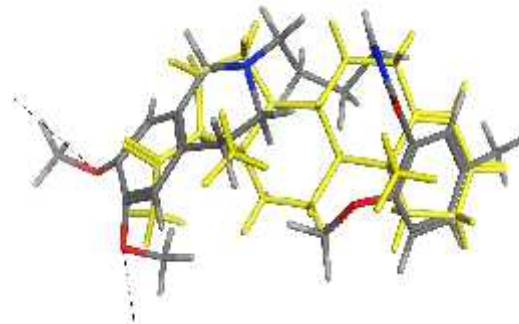


Senyawa 25

S: -5.4392
rmsd: 1.3591

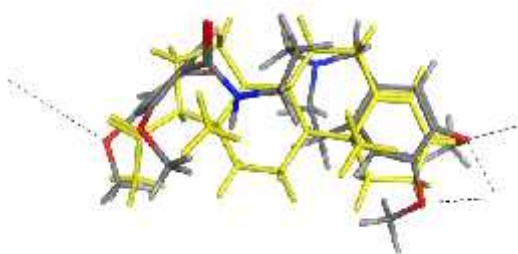


Senyawa 26



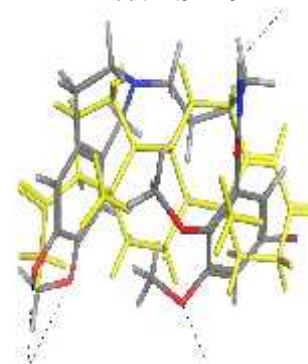
Senyawa 27

S: -9.58
rmsd: 1.9671

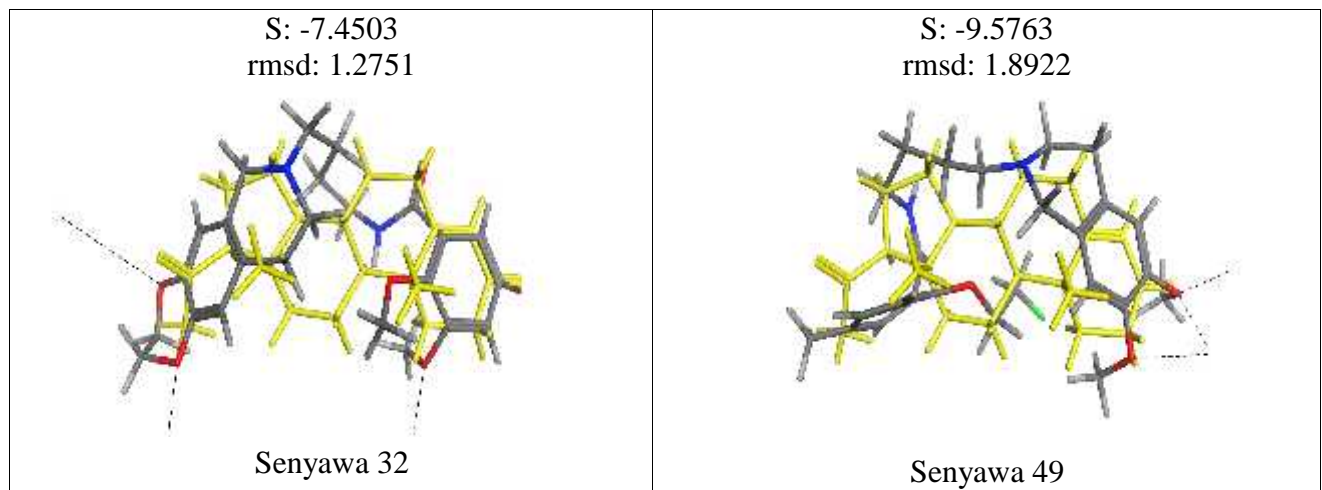


Senyawa 29

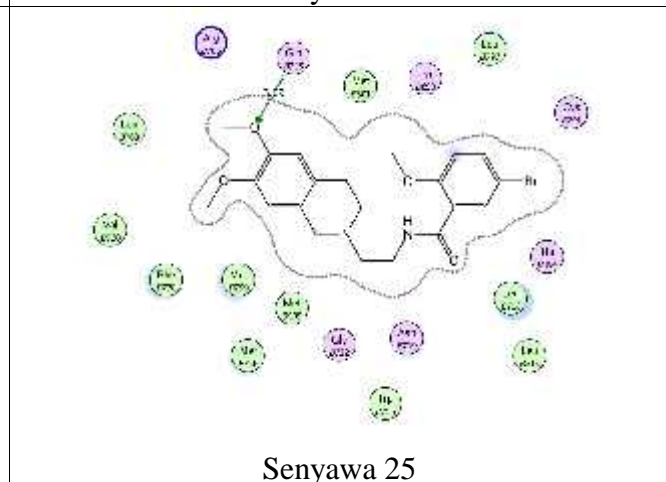
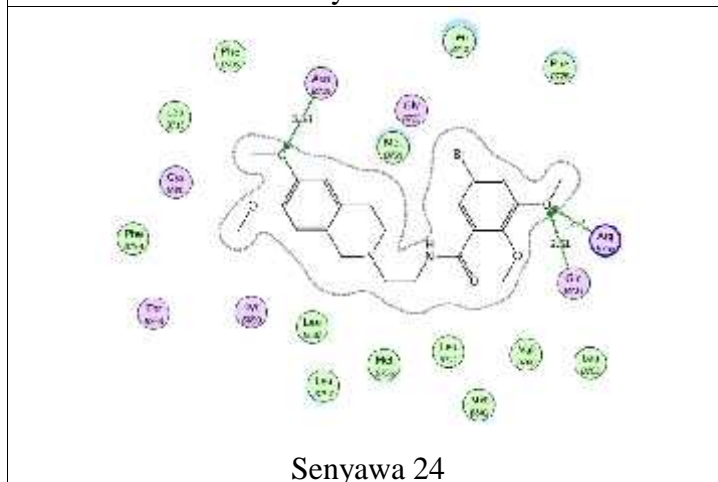
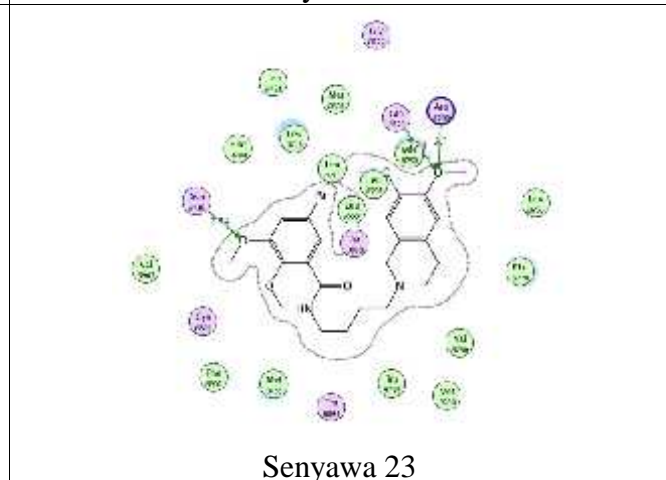
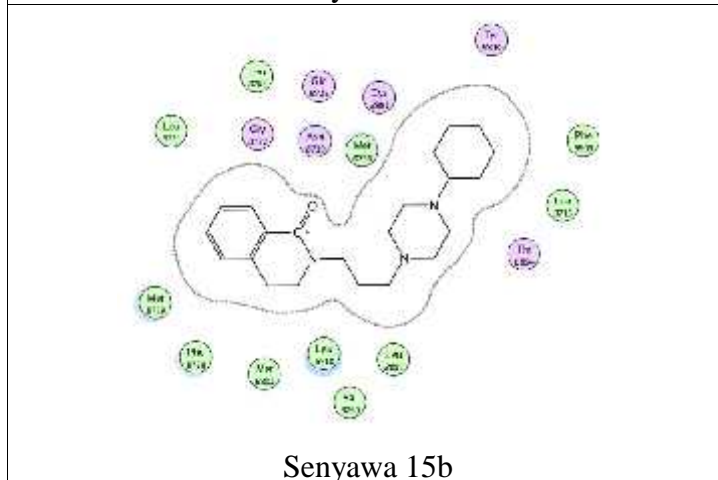
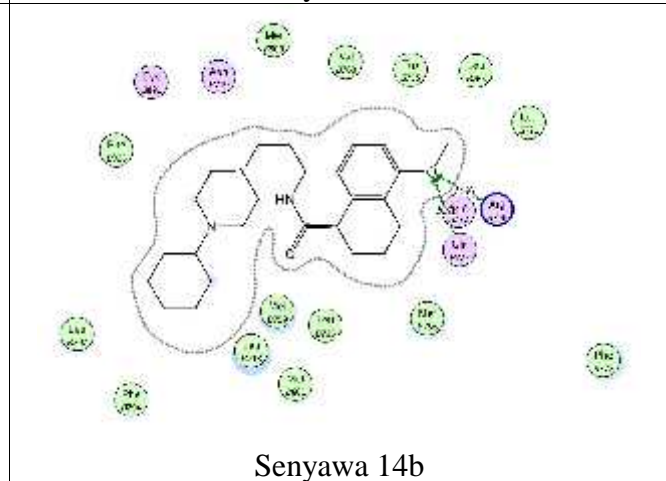
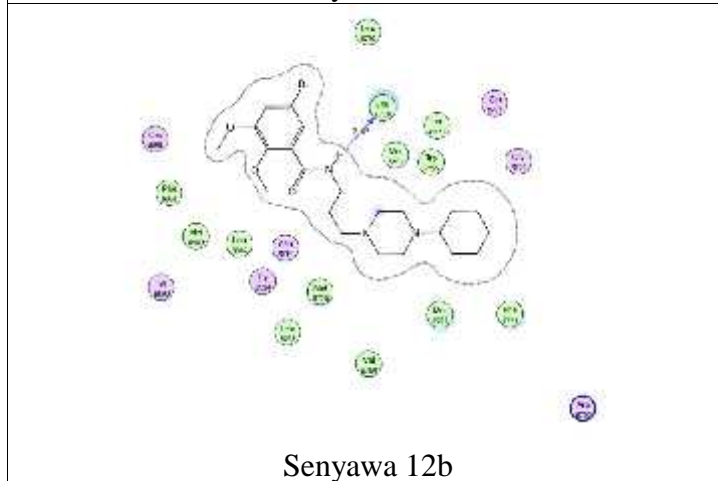
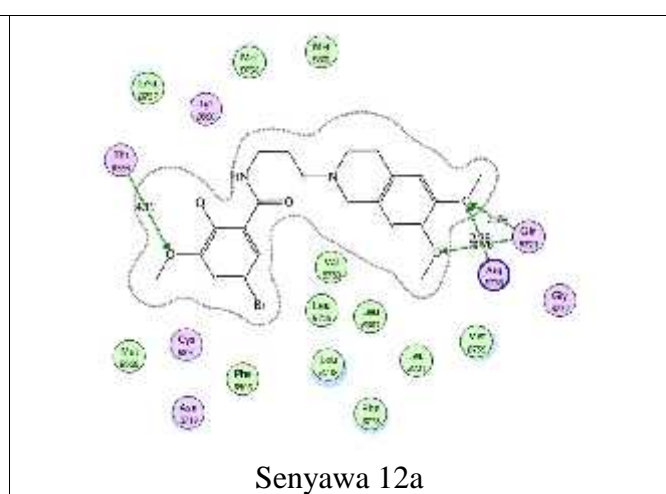
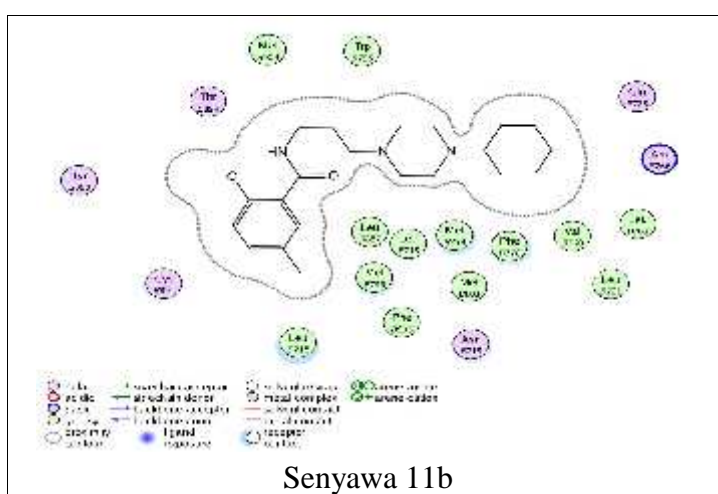
S: -10.05
rmsd: 1.9249

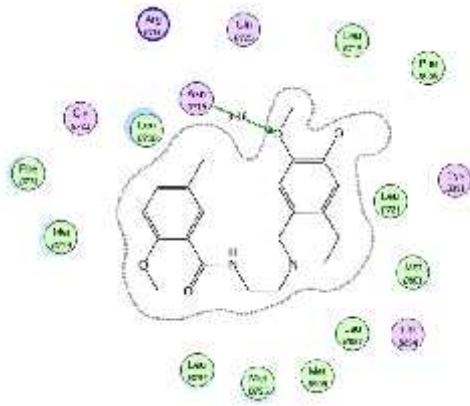


Senyawa 31

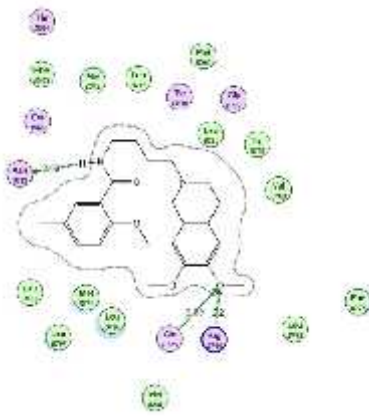


Lampiran 9. Interaksi Senyawa Turunan Benzamida pada Protein 2W8Y

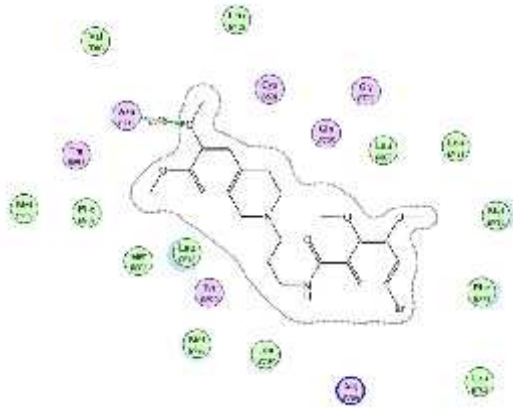




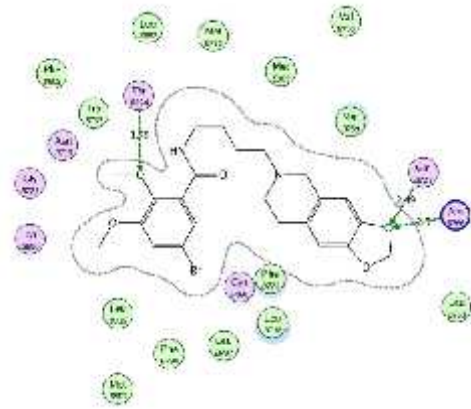
Senyawa 26



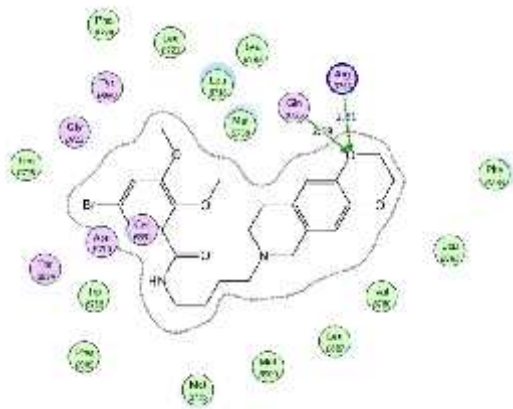
Senyawa 27



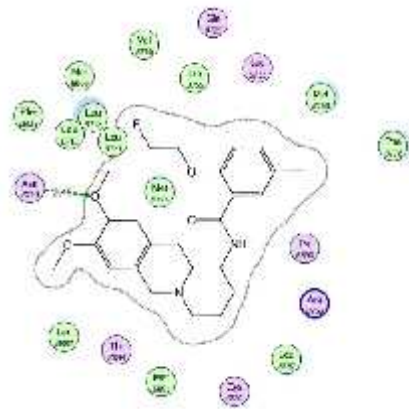
Senyawa 29



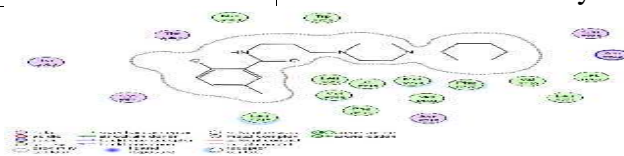
Senyawa 31



Senyawa 32

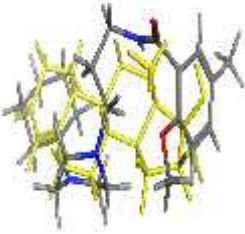
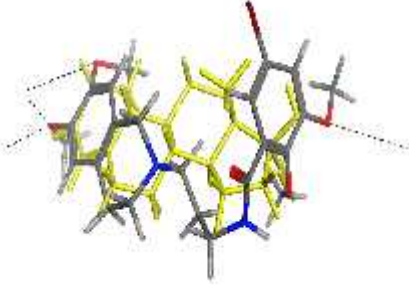
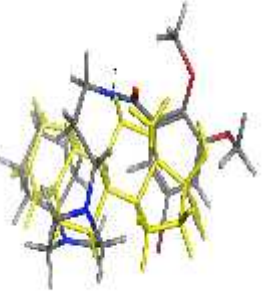
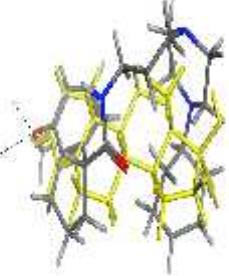


Senyawa 49



S: -7.9726
rmsd: 1.5759

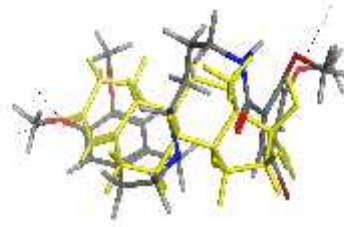
Lampiran 10. Posisi Senyawa Turunan Benzamida pada Protein 2W8Y

 <p>Senyawa 11b</p>	<p>S: -9.3884 rmsd: 1.0663</p>  <p>Senyawa 12a</p>
<p>S: -7.0942 rmsd: 1.8078</p>  <p>S: -9.2447 rmsd: 1.9606 Senyawa 12b</p>	<p>S: -9.4138 rmsd: 1.3795</p>  <p>Senyawa 14b</p>

S: -10.3027
rmsd: 1.5416

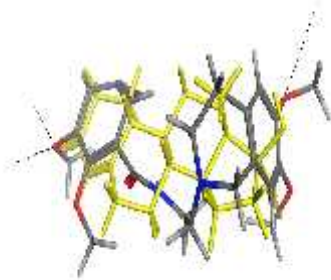


Senyawa 23

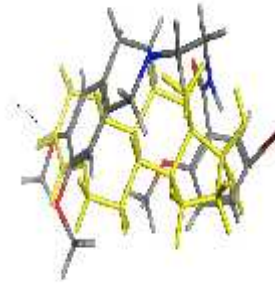


Senyawa 15b

S: -8.5797
rmsd: 1.6156
S: -9.1801
rmsd: 1.7032

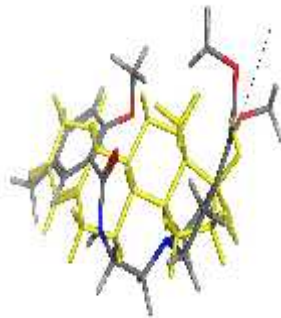


Senyawa 25

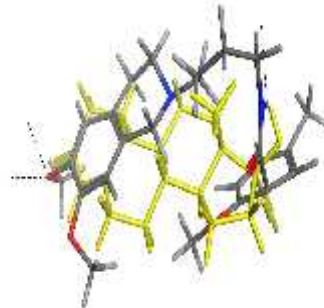


Senyawa 24

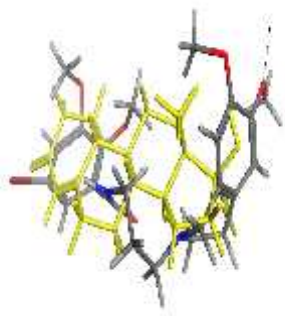
S: -8.7583
rmsd: 1.9804
S: -8.3394
rmsd: 1.2479



Senyawa 27

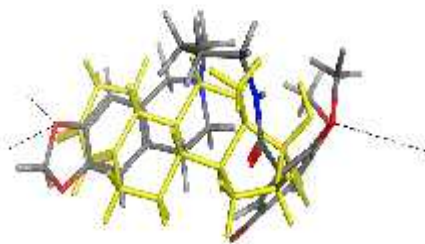


S: -9.6366
rmsd: 1.5814
S: -8.7904
rmsd: 1.134
Senyawa 26

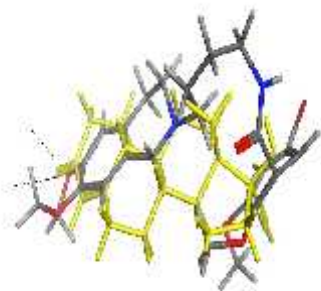


Senyawa 29

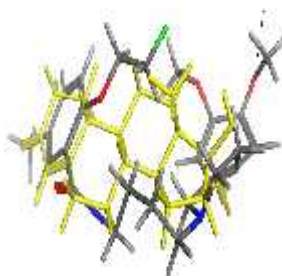
S: -9.5335
rmsd: 1.5007
S: -6.1244
rmsd: 1.9602



Senyawa 31



Senyawa 32



Senyawa 49

Lampiran 2. Nilai Deskriptor Senyawa Turunan Benzamida

Senyawa	AM1_dipole	AM1_E	AM1_Eele	AM1_HF	AM1_HOMO	AM1_LUMO	ASA_H	glob	logP(c
11a	3.92	-116523	-909094.3	-108	-9	-0	120	0.034	3.2
11b	3.34	-105188	-842933	-72	-8.8	-0	121	0.023	3.3
12a	3.84	-131730	-1021066	-130	-9	-0.5	100	0.038	3.4
12b	3.48	-120395	-957555.8	-95	-8.9	-0.5	105	0.027	3.5
13a	4.57	-131728	-1009098	-128	-9.1	-0.4	113	0.036	3.4
13b	3.73	-120393	-945106.7	-92	-8.8	-0.4	129	0.024	3.5
14a	3.11	-126661	-1046242	-116	-9	0.11	85.9	0.034	3.6
14b	2.56	-115326	-981194.6	-81	-8.9	0.3	93.9	0.029	3.7
15a	2.96	-108496	-852344.6	-60	-9.1	-0.2	99.9	0.036	3.0
15b	13.4	-96987.3	-791022.2	149	-11	-10	106	0.027	4.0
22	4.96	-138650	-1046217	-45	-9	-0.5	201	0.034	4.8
23	4.73	-135324	-1050671	-136	-8.9	-0.6	106	0.028	3.9
24	4.87	-128135	-966914.8	-121	-8.9	-0.6	132	0.024	3.0
25	5.78	-117164	-855981.3	-86	-8.9	-0.4	139	0.019	3.3
26	5.11	-112927	-856382.3	-99	-8.9	-0.1	129	0.018	2.8
27	4.99	-120116	-937288.8	-113	-8.9	-0.1	114	0.027	3.6
28	3.86	-116520	-898752.5	-106	-8.9	-0.1	127	0.036	3.2
29	3.73	-131729	-1005723	-128	-8.9	-0.5	131	0.036	3.4
30	6.67	-108308	-843937.8	128	-12	-10	134	0.039	3.9
31	4.99	-131093	-982263.1	-122	-8.7	-0.6	67.9	0.024	3.9
32	3.72	-134690	-1033571	-104	-8.6	-0.5	97.1	0.023	3.8
33	5.04	-138281	-1086827	-136	-8.8	-0.5	133	0.025	4.2
34	5.56	-132374	-995846.3	-135	-9	-0.5	128	0.031	3.8
35	4.42	-131724	-1006082	-123	-8.9	-0.6	96.3	0.055	3.8
36	9.38	-135681	-1044478	-102	-9.4	-1	96	0.024	3
47	4.73	-135186	-1049395	-125	-8.9	-0.6	93.4	0.027	4.3
48	3.91	-149651	-1169164	-179	-8.9	-0.6	108	0.03	4.4
49	3.3	-134581	-1047062	-166	-8.9	-0.2	133	0.03	3.8

KESIMPULAN

- ***Kesimpulan***

- Hubungan kuantitatif struktur-aktivitas senyawa turunan benzamida sebagai agonis reseptor α_2 menunjukkan bahwa lima deskriptor yang berpengaruh terhadap aktivitas senyawa, sebagaimana ditunjukkan dengan persamaan HKSA terbaik:

$$\text{Log } 1/K_i = -13.223 - 1.062 \text{ AM1_HOMO} + 0.231 \text{ AM1_LUMO} - 15.265 \text{ glob} - 0.026 \text{ vol} + 0.030 \text{ VSA}$$

Asam amino yang penting dalam interaksi protein 1A28 dan 2W8Y dengan senyawa turunan benzamida adalah Gly722, Asn719, Arg766, Gln725, Leu721, Leu718, Thr894 dan Met756.

- Senyawa turunan benzamida berinteraksi dengan baik dengan protein 1A28 dan 2W8Y
- Ajaran Islam telah menjelaskan secara umum perlunya pengobatan. Oleh karena itu dilakukan studi tentang senyawa yang dapat digunakan untuk pengobatan, dalam hal ini kanker payudara dengan menggunakan studi Hubungan Kuantitatif Struktur-Aktivitas tentang keteraturan pola struktur senyawa berdasarkan prinsip keteraturan sebagaimana telah dijelaskan dalam QS. Yunus/10: 5–6 dan QS. Yasin/36: 38–40.

- ***Implikasi Penelitian***

- Penelitian ini memberikan beberapa implikasi baik terhadap pihak institusi maupun pemerintah dan diharapkan pemerintah mampu untuk mengembangkan program kerja dalam hal penyuluhan tentang bahaya kanker, dalam hal ini kanker payudara, serta cara-cara mencegah terjadinya kanker pada masyarakat.
- Diharapkan penelitian ini dapat dilanjutkan dengan mendesain senyawa turunan benzamida yang baru dengan aktivitas yang lebih baik.